



بوم شناسی و بانک اطلاعات گرده گونه های درختچه ای و کاشته شده علفی شهر تهران: رویکرد مدیریت اکولوژیک و ایمنی شهری

صفا گوهري^۱، احمد رضا محرابيان^{۱*} و راهله شکوهی شورمستي^۲

^۱گروه علوم و زیست فناوری گیاهی، دانشکده علوم و فناوری زیستی، دانشگاه شهید بهشتی، تهران، ایران

^۲مرکز تحقیقات ایمونولوژی، آسم و آلرژی، دانشگاه علوم پزشکی تهران، تهران، ایران

تاریخ دریافت: ۱۴۰۰/۰۴/۰۷ تاریخ پذیرش: ۱۴۰۰/۰۱/۱۶

گوهري، ص.، ار. محرابيان و ر. شکوهی شورمستي. ۱۴۰۱. بوم شناسی و بانک اطلاعات گرده گونه های درختچه ای و کاشته شده علفی شهر تهران: رویکرد مدیریت اکولوژیک و ایمنی شهری. فصلنامه علوم محیطی. ۲۰(۱): ۱۱۲-۷۷.

سابقه و هدف: داده های علم گرده شناسی، در علوم متنوعی چون سیستماتیک گیاهی، گرده شناسی عسل شامل بررسی و ارزیابی کیفیت و خلوص عسل، گرده شناسی هوا، چینه شناسی، پژوهش قانونی، آب و هواشناسی دیرینه، بازسازی پوشش های گیاهی دیرین، پیش بینی و شبیه سازی وقایع اقلیمی گذشته و پیش بینی وقایع اقلیمی آینده، باستان شناسی، رده بندی و فیلوزنی و شناسایی حساسیت های فصلی، کاربرد دارد. به دلیل آن که بسیاری از گونه های گیاهی کاشته شده و زینتی در گروه عامل های آلرژی زا محسوب می گردد و با توجه به اینکه مطالعات کمی پیرامون گرده شناسی با رویکرد آلرژی زایی در ایران تحقق یافته است، بنابراین انجام یک مطالعه گرده شناسی و تهیه بانک اطلاعاتی گرده شناسی شهر تهران از اهمیت پایه ای در مطالعات آلرژی برخوردار است. هدف های این مطالعه بررسی صفات ریخت-شناسی و ریز ریخت شناسی، طبقه بندی و تهیه بانک اطلاعاتی گرده شناسی گونه های علفی و درختچه ای کاشته شده شهر تهران به روش میکروسکوپ الکترونی است.

مواد و روش ها: شهر تهران با مساحتی حدود ۶۰۰ کیلومترمربع به دلیل قرار گیری در دامنه های جنوبی البرز، وسعت جغرافیایی و قرار گیری در یک شیب ارتفاعی گسترده از شرایط اقلیمی متنوعی برخوردار است که در برگیرنده گونه های متنوع زینتی است. بنابراین با بررسی فلورهای چاپ شده و اطلاعات سازمان فضای سبز شهر تهران لیستی از گونه های تأثیرگذار و فراوان تهیه شد. سپس نمونه های گیاهی مورد نظر از رویشگاه های گیاهی جمع آوری و برآسانس روش های استاندارد، آبگیری و تثبیت شدند. سپس گونه های گیاهی با استفاده از فلورهای ایران و ایرانیکا شناسایی شدند. در نهایت دانه های گرده جدا شده از بساک را روی پایه های مخصوص میکروسکوپ الکترونی قرار داده و پس از پوشش دادن نمونه ها با فلز طلا با میکروسکوپ الکترونی نگاره عکسبرداری شدند. سپس دانه های گرده براساس منابع معتبر گرده شناسی طبقه بندی و توصیف گردیدند.

نتایج و بحث: نتایج این مطالعه شامل تهیه یک منبع مدون تصویری بومی پیرامون دانه گرده ۱۴۵ گونه درختچه ای و علفی کاشته شده

* Corresponding Author: Email Address. a_mehrabian@sbu.ac.ir

<http://dx.doi.org/10.52547/envs.2021.1012>

<http://dorl.net/dor/20.1001.1.17351324.1401.20.1.6.5>

شهر تهران می باشد. این ۱۴۵ گونه گیاهی شامل ۹۵ گونه علفی و ۵۰ گونه درختچه ای هستند. خانواده آفتابگردان با ۱۶ گونه و خانواده گلسرخیان با ۱۴ گونه، بیشترین نمونه ها را دارا هستند. از ۱۳۱ جنس مورد بررسی، ۴۳ جنس آلرژی زا گزارش شده اند که خانواده آفتابگردان با دارا بودن ۵ جنس آلرژی زا و سپس خانواده های سرو و زیتون با ۳ جنس آلرژی زا بیشترین فراوانی گونه های آلرژی زا را در بین خانواده های مورد بررسی دارند. نتایج این مطالعه نشان می دهد که درختچه های آلرژی زا فراوانی بیشتری نسبت به گیاهان علفی آلرژی زا دارند. این در حالی است که درختان و درختچه ها به دلیل تولید گرده فراوان تر و گرده افشاری با بد دارای تأثیرهای آلرژی زای بیشتری هستند. دانه های گرده این گونه ها به طور معمول کوچک بوده و می توانند در مسافت های طولانی پراکنده شوند و از ماندگاری بیشتری در هوا برخوردارند. نتایج این مطالعه نشان می دهد که گرده های آلرژی زا نیز از تنوع ریختی بالایی برخوردارند البته تأثیر معنادار ریز ریخت شناسی دانه گرده در ایجاد آلرژی به مطالعات گسترش دهنده تری نیاز دارد.

نتیجه گیری: دستاوردهای این مطالعه به عنوان یک الگو جهت مطالعات گرده شناسی و بویژه در پژوهش های آسم و آلرژی در کشور کاربرد خواهد داشت. همچنین این مطالعه در راستای تکمیل بانک اطلاعات گرده ای و اطلس گرده شناسی کشور انجام می گردد. نتایج این مطالعه نشان می دهد که در شهر تهران گونه های گیاهی زیادی بدون در نظر گرفتن ملاحظات آلرژی زایی کاشته شده که به عنوان یک هشدار مهم جهت مطالعات گرده ای، گرده شناسی هوا، آسم و آلرژی.

مقدمه

(2011)، اطلس دانه های گرده هوا و اسپورهای قارچ های معمول کانادا (Bassett, Crompton *et al.* 1978)، اطلس دانه های گرده و اسپورهای معلق در هوا (Hyde and Adams 1958)، اطلس دانه های گرده گونه های درختی و درختچه ای (Lieux 1980)، واژه نامه تصویری گرده شناسی (Halbritter, Werber *et al.* 2007) واژه نامه تصویری دانه های گرده (Halbritter, Ulrich *et al.* 2018)، اطلس گرده شناسی آمازون (Colinvaux P 1999) از برجسته ترین مطالعات انجام شده در مورد گرده شناسی در جهان می باشد. همچنین یکی از ابعاد مهم بوم شناختی منطقه های شهری ملاحظات کشت و نیز ارزیابی آلرژی زایی گونه های کاشته شده شهری می باشد. دستکاری های ایجاد شده توسط انسان ها در اکوسیستم و همچنین آزاد شدن دانه های گرده حاصل از پوشش های گیاهی در منطقه های شهری دارای تبعات اجتماعی، اقتصادی، محیط زیستی و بهداشتی زیادی می باشد (Cariñanos and Casares-Porcel 2011, Cariñanos, Grilo *et al.* 2019). در دهه های اخیر افزایش میزان گرده ها و الاینده ها در منطقه های شهری دنیا منجر به افزایش تعداد بیمارانی شده است که از

بواسطه ماهیت ویژه علم گرده شناسی، داده های آن در علوم متنوعی بکار گرفته شده است. گرده شناسی در در حوزه پژوهشی با موضوعات آسم و آلرژی و حساسیت های فصلی (Agashe and Caulton 2009) (قضایی و پژوهشی قانونی Milne and Mildenhall 2004)، کاربرد تغذیه ای گرده (Feás, Vázquez-Tato *et al.* 2012) بکار گرفته شده است. به دلیل اهمیت داده های گرده شناسی در مطالعات بالا و سایر علوم وابسته تا کنون مطالعات زیادی جهت تهیه بانک های اطلاعاتی گرده شناسی در دنیا به انجام رسیده است. مطالعات اطلس گرده شناسی منطقه های گرم سیری غرب آفریقا (Gosling, Miller *et al.* 2013)، اطلس اسپورها و فسیل های آمریکا و روسیه (Ames and Spackman 1981)، اطلس گرده گیاهان (da Silva, Radaeski *et al.* 2020) مورد استفاده زنبورها (Willard, Bernhardt *et al.* 2004) اطلس گرده شناسی ایالت فلوریدا (Ховишаوندان آنها در نیوزلند Large 1991)، اطلس گرده های گونه های درختی و درختچه ای کانادا (Adams and Morton 1972)، اطلس گونه های چوبی و علفی (Leal, Berrio *et al.* 2005) نواحی کوهستانی گوایانا و نزوئلا

1981) از مطالعات انجام شده بوم شناختی گردههای هوای ابر شهرها و منطقه‌های مهم شهری جهان می‌باشد. در ایران نیز مطالعاتی در مورد شناسایی و شمارش گردهها انجام شده است. Kimiyai *et al.* (1970) و همچنین Shafiee *et al.* (1974-1975) جزء اولین مطالعاتی بودند که گردههای شهر تهران را شناسایی و مورد شمارش قرار دادند (Kimiayi 1970، Shafiee 1976). در مطالعات دیگری توسط Majd *et al.* (2018) نیز شماری گردههای آلرژی‌زایی شهر تهران شناسایی و مورد بررسی قرار گرفتند (Majd, Shoushtari *et al.* 2018). همچنین در مطالعات دیگری توسط Arshi *et al.* (2010) حساسیت به گیاهان پاییزه مؤثر در رینیت در شهر تهران مورد بررسی قرار گرفت (Arshi, Zarrinfard *et al.* 2010).

شهر تهران به عنوان یکی از ابرشهرهای جهان از گستره جغرافیایی وسیعی برخوردار بوده و دامنه ارتفاعی وسیعی را از بخش‌های شمالی (تا ۱۸۰۰ متر در بخش‌های شمالی) تا بخش‌های جنوبی (از ۱۰۰۰ متر) در بر می‌گیرد. در امتداد این تنوع بوم شناختی، زیستگاه‌های بسیار متنوعی شکل گرفته که حضور گونه‌های متنوع گیاهی است. بواسطه اهمیت این شهر از منظر بوم شناختی و نیز اهمیت آن به عنوان یکی از مرکزهای مهم جمعیتی کشور، برنامه ریزی‌های بوم شناختی در آن از اهمیت بالایی برخوردار است. براین اساس تهیه بانک اطلاعات گرده شناسی نقش مهمی در مدیریت محیط زیست شهری را دارد. این بانک اطلاعاتی به عنوان یکی از نقاط شروع اطلس گرده شناسی کشور، تهیه تقویم گردهای، مطالعات گرده شناسی هوای مدیریت آسم و آلرژی و نیز مطالعات باستان شناسی شهر تهران کاربرد دارد. تاکنون هیچ منبع جامعی پیرامون اطلس گرده شناسی شهر تهران با استفاده از تصاویر میکروسکوپ الکترونی انجام نشده است، براین اساس انجام این مطالعه در شهر تهران پایه ریزی و انجام شده است. هدف‌های اصلی این مطالعه عبارتند از شناسایی و تهیه بانک اطلاعات گردهای، تشریح صفات

بیماری‌های آلرژیک رنج می‌برند (Patella, Florio *et al.* 2018). به عنوان نمونه هزینه‌های درمانی یا به نوعی بار اقتصادی بیماری‌های آلرژیک ناشی از دانه‌های گرده برای نمونه رینیت آلرژیک در کشورهای مختلف جهان قابل توجه می‌باشد (Weiss and Sullivan 2001, Linneberg,) (Dam Petersen *et al.* 2016) آلودگی‌های هوای اثرهای آلرژی‌زایی دانه‌های گرده را دچار تغییرات می‌نمایند (Naas, Mendez *et al.* 2016). براساس مطالعات انجام شده، تغییرات اقلیمی اثرهای منفی آلرژی‌زایی دانه‌های گرده را تشید می‌نماید (Gilmour, Jaakkola *et al.* 2006, Cecchi, D'Amato *et al.* 2010). گرده گیاه به عنوان آروآلرژن اصلی ایجاد‌کننده واکنش‌های آلرژیک در نظر گرفته می‌شود. با توجه به مطالعات انجام شده، مشخص شده است که ساکنان شهری به طور عمده به دلیل تعامل بین آلاینده‌های شیمیایی هوای دانه‌های گرده، آلرژی تنفسی بیشتری نسبت به ساکنان روستایی تجربه می‌کنند. این تعامل می‌تواند از طریق چندین مکانیسم شامل تسهیل رها شدن آلرژن گرده از طریق آلاینده‌های شیمیایی، دخالت در تحریک پاسخ‌های با واسطه IgE، تغییر پتانسیل آلرژی‌زایی و تقویت بیان برخی آلرژن‌ها در دانه‌های گرده، رخ دهد (Sedghy, Varasteh *et al.* 2018). همچنین آلودگی هوای سبب افزایش آلرژی‌زایی دانه‌های گرده می‌گردد. دانه‌های گرده حاوی منافذ ریز زیادی می‌باشند، به همین دلیل حمل کننده انواع آلودگی‌های معلق در هوای هستند (Behrendt, Becker *et al.* 1997). تغییرات کمی دانه‌های گرده شهری در اروپا (Ziello, Sparks *et al.* 2012) اکولوژی دانه‌های گرده منطقه‌های شهری در استرالیا و نیوزیلند (Haberle, Bowman *et al.* 2014) برهمکنش آلودگی‌های جوی با دانه‌های گرده (Skjøth, Kurganskiy *et al.* 2021) گرده‌های آلرژی‌زایی گیاهان نیمه گرمسیری (Davies, Li *et al.* 2012)، طیف گردهای Nilsson and Persson (Nilsson and Persson 2001) گیاهان منطقه استکلهلم سوئد)

مطالعات پیمایشی جمع آوری شد و سپس براساس روش-های متدالو، آبگیری و تثبیت شدند در هر باریوم دانشگاه شهید بهشتی قرار داده شدند. شناساسی نمونه‌های گیاهی براساس فلور ایرانیکا (Rechinger 1963)، فلور ایران (Assadi 2019) کتاب درخت‌ها و درختچه‌های ایران (Mozaffarian 2005)، فلور ترکیه (Davis 1965)، و نیز گیاهان مناسب در مکان‌های مناسب (Lancaster, Cheifetz *et al.* 2002) دایره المعارف کاکتوس‌ها و گیاهان گوشتی (Anderson and Hewitt 2012) و دایره المعارف گیاهان پیازی و غده‌دار (Van Dijk 2004) انجام شد. دانه‌های گرده آماده شده را روی پایه‌های مخصوص قرار داده و پس از پوشش دادن نمونه‌ها با فلز طلا، آن‌ها را در داخل محفظه میکروسکوپ الکترونی قرار داده و با بزرگنمایی‌های مورد نظر از نمونه‌ها تصویربرداری شد. برای تصویربرداری دانه‌های گرده از میکروسکوپ الکترونی HITACHI SU3500 ساخت کشور ژاپن و شرکت Wodehouse (1935, Erdtman 1960, Halbritter, Werber *et al.* 2007, Punt, Hoen *et al.* 2007) طبقه‌بندی و توصیف گردید. از هر گونه ۱۵-۲۰ دانه گرده جهت ارزیابی صفات کمی با استفاده از نرم افزار Image Tools 3.6 مورد بررسی قرار گرفت. وضعیت آلرژی‌زایی خانواده‌ها و جنس‌های موجود در این مطالعه با استفاده از مقالات و سایت‌های معتبر (Cariñanos, Alcázar *et al.* 2002, D'Amato, Cecchi *et al.* 2007, Ghosh, Roy *et al.* 2007, Mansouritorghabeh, Jabbari-Azad *et al.* 2019) سایت (<http://www.pollenlibrary.com>) بررسی شد.

نتایج و بحث

نتایج این مطالعه شامل تهیه یک منبع مدون تصویری بومی پیرامون دانه گرده ۱۴۵ گونه درختچه‌ای و علفی کاشته شده شهر تهران می‌باشد (جدول ۱).

ریخت شناسی گرده و تهیه اطلس گرده شناسی شهر تهران به عنوان یک منبع علمی پایه بومی جهت مطالعات گرده شناسی هوا، گیاه شناسی و بوم شناسی گیاهی. همچنین انجام این مطالعه به عنوان یک مطالعه پایلوت می‌تواند در شهرکلان شهرهای کشور به انجام برسد. در نهایت نتایج این مطالعه به عنوان یک مرجع بومی معتبر سبب ارتقاء سایر علوم وابسته به این حوزه می‌گردد.

مواد و روش‌ها

شهر تهران از نظر موقعیت جغرافیایی در دامنه‌های جنوبی البرز واقع شده که گستره آن از جنوب به کهریزک، از سرخ به سرخه حصار و جاجرود و از غرب به چیتگر و کوه دشته امتداد می‌یابد (Ghahreman 2001). آبوهای شهر تهران در بخش‌های شمالی در مرز اقلیم مرطوب و خشک و در سایر بخش‌ها دارای اقلیم خشک می‌باشد. از بعد زئومورفولوژیک در واحد البرز واقع شده و از منظر زمین شناسی تشکیلات زمین شناسی روسی و روسی آتشفسانی را در برمی‌گیرد (Alaee Taleghani 2003). از منظر اقلیم شناسی زیستی شهر تهران در بخش‌های شمالی متأثر از اقلیم زیستی مدیترانه‌ای قاره اقیانوسی چند فصلی، در بخش‌های میانی و جنوبی متأثر از اقلیم‌های مدیترانه‌ای خشک قاره‌ای و مدیترانه‌ای خشک چند فصلی می‌باشد (Djamali, Akhani *et al.* 2011). در نقشه ترسیم شده توسط Dewan *et al.* (1963)، خاک‌های منطقه‌های مختلف تهران شامل خاک‌های روسی بافت ریز، خاک‌های سیروزوم و خاک‌های لیتوسول می‌باشد (Dewan 1963). این در حالی است که تهران از منظر جغرافیایی گیاهی در زیرحوزه آتروپاتن متعلق به حوزه ایرانو-ارمنستان از ناحیه ایرانو-تورانی طبقه بندی می‌گردد (Takhtajan 1986).

این مطالعه، بر مبنای نمونه‌های هر باریومی دانشگاه شهید بهشتی و نیز نمونه‌های جمع آوری شده از مطالعات میدانی در فاصله سال‌های ۱۳۹۷-۱۳۹۸ انجام شد. نمونه برداری براساس نقاط پراکنش تهیه شده از منابع علمی و نیز

جدول ۱- تصویرهای میکروسکوپ الکترونی گرده‌های درختچه‌ای و گونه‌های علفی

Table 1. SEM of pollen's shrubs and herbaceous species

1. <i>Cycas revoluta</i> Thunb. (1-1:10 µm-1-2.5 µm)	2. <i>Cupressus arizonica</i> Greene (2-1:30 µm-2-2.5 µm)	3. <i>Cupressus sempervirens</i> L. (3-1:10 µm-3-2.5 µm)
4. <i>Juniperus horizontalis</i> Moench (4-1:10 µm-4-2.5 µm)	5. <i>Platycladus orientalis</i> (L.) Franco (5-1:10 µm-5-2.5 µm)	6. <i>Taxus baccata</i> L. (6-1:20 µm-6-2.10 µm)
7. <i>Chimonanthus praecox</i> (L.) Link (7-1:30 µm-7-2.5 µm)	8. <i>Laurus nobilis</i> L. (8-1:10 µm-8-2.10 µm)	9. <i>Anthonium scherzerianum</i> Schott (9-1:10 µm-9-2.5 µm)
10. <i>Alstroemeria aurantiaca</i> D.Don (10-1:40 µm-10-2.5 µm)	11. <i>Lilium</i> sp. (11-1:50 µm-11-2.10 µm)	12. <i>Tulipa</i> hybride. (12-1:50 µm-12-2.10 µm)
13. <i>Yucca filamentosa</i> L. (13-1:40 µm-13-2.5 µm)	14. <i>Crinum bulbispermum</i> (Burm.f.) Milne-Redh. & Schweick. (14-1:30 µm-14-2.5 µm)	15. <i>Narcissus tazetta</i> L. (15-1:20 µm-15-2.5 µm)
16. <i>Chlorophytum comosum</i> (Thunb.) Jacques (16-1:20 µm-16-2.5 µm)	17. <i>Hosta capitata</i> (Koidz.) Nakai (1-17:40 µm-17-2.5 µm)	18. <i>Hemerocallis fulva</i> (L.) L. (1-18:40 µm-18-2.5 µm)
19. <i>Crocosmia × crocosmiiflora</i> (Lemoine) N.E.Br. (19-1:50 µm-19-2.10 µm)	20. <i>Freesia refrecta</i> (Jacquin) Klatt. (20-1:40 µm-20-2.10 µm)	21. <i>Gladiolus grandiflorus</i> Andrews (21-1:50 µm-21-2.5 µm)

ادامه جدول ۱- تصویرهای میکروسکوپ الکترونی گرده گونه های درختچه ای و گونه های علفی

Table 1. Cont. SEM of pollen's shrubs and herbaceous species

22. <i>Iris × germanica</i> L. (22-1:50 µm-22-2:20 µm)	23. <i>Cyperus alternifolius</i> L. (23-1:10 µm-23-2:10 µm)	24. <i>Cortaderia selloana</i> (Schult. & Schult.f.) Asch. & Graebn. (24-1:10 µm-24-2:5 µm)
25. <i>Cynodon dactylon</i> (L.) Pers. (25-1:20 µm-25-2:5 µm)	26. <i>Festuca</i> sp. (26-1:20 µm-26-2:5 µm)	27. <i>Tradescantia pallida</i> (Rose) D.R.Hunt(27-1:40 µm-27-2:5 µm)
28. <i>Canna indica</i> L. (28-1:40 µm-28-2:5 µm)	29. <i>Strelitzia reginae</i> Banks (29-1:50 µm-29-2:10 µm)	30. <i>Berberis × ottawensis</i> C.K. Schneid. (30-1:20 µm-30-2:10 µm)
31. <i>Mahonia japonica</i> (Thunb.) DC. (31-1:30 µm-31-2:10 µm)	32. <i>Aquilegia vulgaris</i> L. (32-1:10 µm-32-2:5 µm)	33. <i>Bryophyllum daigremontianum</i> (Raym.-Hamet & Perrier) A.Berger(33-1:30 µm-33-2:5 µm)
34. <i>Kalanchoe blossfeldiana</i> Poelln. (34-1:20 µm-34-2:5 µm)	35. <i>Sedum spectabile</i> Boreia (35-1:20 µm-35-2:4 µm)	36. <i>Bergenia crassifolia</i> (L.) Fritsch (36-1:20 µm-36-2:5 µm)
37. <i>Parthenocissus tricuspidata</i> (Siebold & Zucc.) Planch. (37-1:20 µm-37-2:5 µm)	38. <i>Euonymus japonicus</i> Thunb. (38-1:20 µm-38-2:4 µm)	39. <i>Oxalis triangularis</i> A. St.-Hil. (39-1:20 µm-39-2:5 µm)
40. <i>Euphorbia pulcherrima</i> Willd. ex Klotzsch (40-1:30 µm-40-2:5 µm)	41. <i>Ricinus communis</i> L. (41-1:20 µm-41-2:5 µm)	42. <i>Hypericum patulum</i> Thunb. (42-1:10 µm-42-2:4 µm)

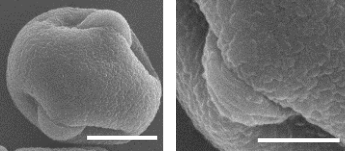
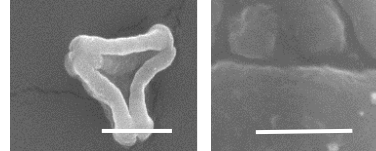
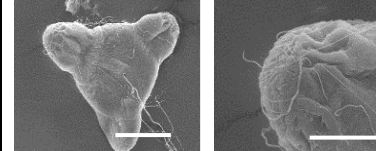
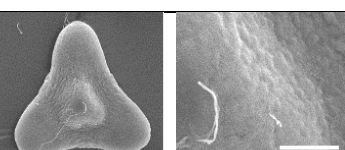
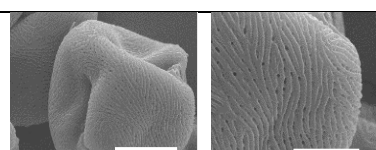
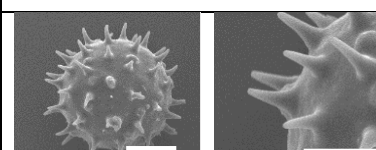
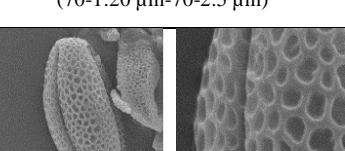
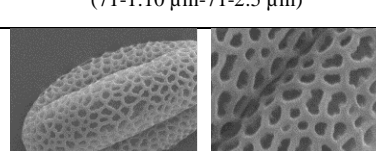
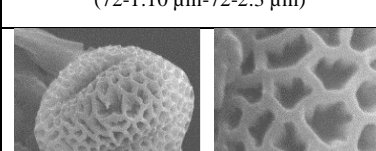
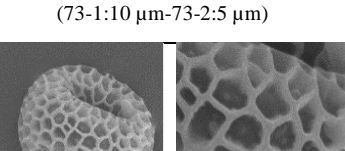
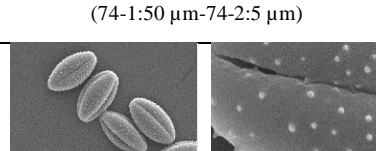
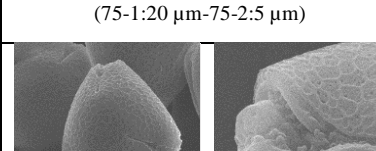
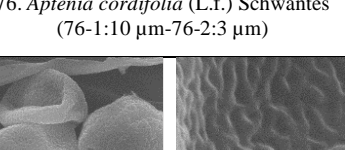
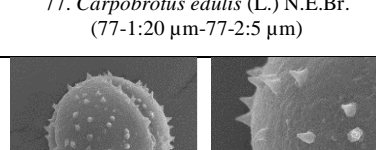
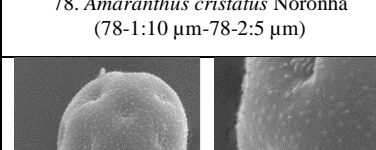
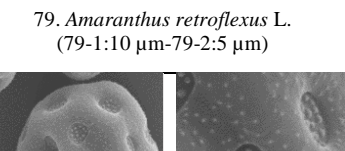
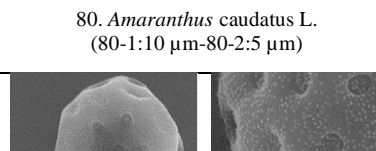
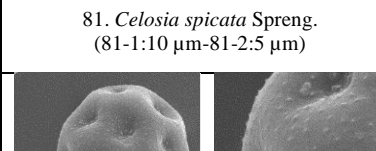
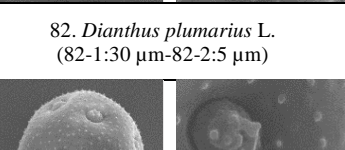
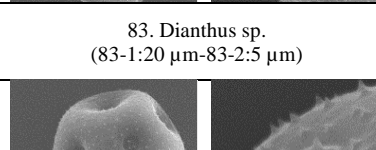
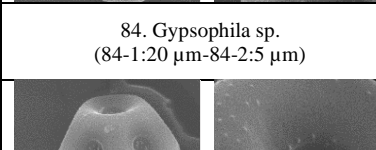
ادامه جدول ۱- تصویرهای میکروسکوپ الکترونی گرده گونه‌های درختچه‌ای و گونه‌های علفی

Table 1. Cont. SEM of pollen's shrubs and herbaceous species

43. <i>Viola tricolor</i> L. (43-1:40 μm -43-2:5 μm)	44. <i>Amorpha fruticosa</i> L. (44-1:30 μm -44-2:5 μm)	45. <i>Caesalpinia gilliesii</i> (Hook.) D.Dietr. (45-1:50 μm -45-2:10 μm)
46. <i>Cercis siliquastrum</i> L. (46-1:10 μm -46-2:5 μm)	47. <i>Spartium junceum</i> L. (47-1:20 μm -47-2:5 μm)	48. <i>Wisteria sinensis</i> (Sims) Sweet (48-1:20 μm -48-2:5 μm)
49. <i>Chaenomeles japonica</i> (Thunb.) Lindl. ex Spach(49-1:10 μm -49-2:5 μm)	50. <i>Cotoneaster procumbens</i> Gerald. (50- 1:20 μm -50-2:5 μm)	51. <i>Cotoneaster horizontalis</i> Decne. (51-1:10 μm -51-2:5 μm)
52. <i>Eriobotrya japonica</i> (Thunb.) Lindl. (52-1:10 μm -52-2:5 μm)	53. <i>Photinia serrulata</i> auct. (53-1:10 μm -53-2:5 μm)	54. <i>Pyracantha atalantoides</i> (Hance) Stapf (54-1:30 μm -54-2:5 μm)
55. <i>Rosa hybride</i> 1. (55-1:30 μm -55-2:5 μm)	56. <i>Rosa hybride</i> 2. (56-1:20 μm -56-2:5 μm)	57. <i>Rosa canina</i> L (57-1:30 μm -57-2:5 μm)
58. <i>Rubus caesius</i> L. (58-1:20 μm -58-2:5 μm)	59. <i>Spiraea crenata</i> L. (59-1:10 μm -59-2:4 μm)	60. <i>Spiraea japonica</i> L.f. (60-1:5 μm -60-2:3 μm)
61. <i>Begonia cucullata</i> Carl Ludwig Willdenow. (61-1:5 μm -61-2:2 μm)	62. <i>Pelargonium zonale</i> (L.) L'Hér. ex Aiton (62-1:40 μm -62-2:10 μm)	63. <i>Lagerstroemia indica</i> L. (63-1:30 μm -63-2:5 μm)

ادامه جدول ۱- تصویرهای میکروسکوپ الکترونی گرده گونه های درختچه ای و گونه های علفی

Table 1. Cont. SEM of pollen's shrubs and herbaceous species

64. <i>Punica granatum</i> L. (64-1:10 µm-64-2:5 µm)	65. <i>Callistemon viminalis</i> (Sol. ex Gaertn.) G.Don (65-1:10 µm-65-2:4 µm)	66. <i>Oenothera biennis</i> L. (66-1:50 µm-66-2:20 µm)
		
67. <i>Oenothera speciosa</i> Nutt. (67-1:50 µm-67-2:10 µm)	68. <i>Koelreuteria paniculata</i> Laxm. (68-1:10 µm-68-2:5 µm)	69. <i>Hibiscus syriacus</i> L. (69-1:50 µm-69-2:30 µm)
		
70. <i>Brassica oleracea</i> L. (70-1:20 µm-70-2:5 µm)	71. <i>Erysimum × cheiri</i> (L.) Crantz (71-1:10 µm-71-2:5 µm)	72. <i>Lobularia maritima</i> (L.) Desv. (72-1:10 µm-72-2:3 µm)
		
73. <i>Matthiola incana</i> (L.) R.Br. (73-1:10 µm-73-2:5 µm)	74. <i>Cleome hassleriana</i> Chodat (74-1:50 µm-74-2:5 µm)	75. <i>Tropaeolum majus</i> L. (75-1:20 µm-75-2:5 µm)
		
76. <i>Aptenia cordifolia</i> (L.f.) Schwantes (76-1:10 µm-76-2:3 µm)	77. <i>Carpobrotus edulis</i> (L.) N.E.Br. (77-1:20 µm-77-2:5 µm)	78. <i>Amaranthus cristatus</i> Noronha (78-1:10 µm-78-2:5 µm)
		
79. <i>Amaranthus retroflexus</i> L. (79-1:10 µm-79-2:5 µm)	80. <i>Amaranthus caudatus</i> L. (80-1:10 µm-80-2:5 µm)	81. <i>Celosia spicata</i> Spreng. (81-1:10 µm-81-2:5 µm)
		
82. <i>Dianthus plumarius</i> L. (82-1:30 µm-82-2:5 µm)	83. <i>Dianthus</i> sp. (83-1:20 µm-83-2:5 µm)	84. <i>Gypsophila</i> sp. (84-1:20 µm-84-2:5 µm)
		

ادامه جدول ۱- تصویرهای میکروسکوپ الکترونی گرده گونه‌های درختچه‌ای و گونه‌های علفی

Table 1. Cont. SEM of pollen's shrubs and herbaceous species

85. <i>Bougainvillea glabra</i> Choisy (85-1:20 μm -85-2:5 μm)	86. <i>Mirabilis jalapa</i> L. (86-1:50 μm -86-2:10 μm)	87. <i>Limonium</i> sp. (87-1:20 μm -87-2:5 μm)
88. <i>Plumbago auriculata</i> Lam. (88-1:30 μm -88-2:5 μm)	89. <i>Fallopia baldschuanica</i> (Regel) Holub (89-1:10 μm -89-2:5 μm)	90. <i>Portulaca grandiflora</i> Hook. (90-1:40 μm -90-2:10 μm)
91. <i>Cornus sanguinea</i> L. (91-1:50 μm -91-2:5 μm)	92. <i>Hydrangea macrophylla</i> (Thunb.) Ser (92-1:10 μm -92-2:5 μm)	93. <i>Philadelphus × virginialis</i> Rehder (93-1:5 μm -93-2:4 μm)
94. <i>Impatiens balsamina</i> L. (94-1:10 μm -94-2:5 μm)	95. <i>Rhododendron simsii</i> Planch. (95-1:30 μm -95-2:10 μm)	96. <i>Cyclamen colchicum</i> Albov. (96-1:5 μm -96-2:3 μm)
97. <i>Nerium oleander</i> L. (97-1:20 μm -97-2:5 μm)	98. <i>Catharanthus roseus</i> (L.) G.Don (98-1:40 μm -98-2:5 μm)	99. <i>Vinca minor</i> L. (99-1:50 μm -99-2:20 μm)
100. <i>Eustoma grandiflorum</i> (Raf.) (100-1:10 μm -100-2:5 μm)	101. <i>Ipomoea tricolor</i> Cav. (101-1:50 μm -101-2:20 μm)	102. <i>Capsicum annuum</i> L. (102-1:10 μm -102-2:5 μm)
103. <i>Datura innoxia</i> Mill. (103-1:30 μm -103-2:10 μm)	104. <i>Datura maxima</i> Moc. & Sessé ex Dunal (104-1:20 μm -104-2:5 μm)	105. <i>Petunia axillaris</i> (Lam.) Britton, Sterns & Poggenb.v (105-1:20 μm -105-2:5 μm)
106. <i>Solanum dulcamara</i> L. (106-1:10 μm -106-2:3 μm)	107. <i>Solanum luteum</i> Mill. (107-1:10 μm -107-2:5 μm)	108. <i>Campsis radicans</i> (L.) Seem. (108-1:10 μm -108-2:5 μm)

ادامه جدول ۱- تصویرهای میکروسکوپ الکترونی گرده گونه های درختچه ای و گونه های علفی

Table 1. Cont. SEM of pollen's shrubs and herbaceous species

109. <i>Clerodendrum bungei</i> Steud. (109-1:40 μm -109-2:10 μm)	110. <i>Lavandula angustifolia</i> Mill. (110-1:10 μm -110-2:5 μm)	111. <i>Mentha longifolia</i> (L.) L. (111-1:20 μm -111-2:5 μm)
112. <i>Rosmarinus officinalis</i> L. (112-1:20 μm -112-2:5 μm)	113. <i>Salvia splendens</i> Sellow ex Schult. (113-1:30 μm -113-2:5 μm)	114. <i>Forsythia × intermedia</i> Zabel (114-1:10 μm -114-2:5 μm)
115. <i>Ligustrum lucidum</i> W.T.Aiton (115-1:20 μm -115-2:5 μm)	116. <i>Ligustrum ovalifolium</i> Hassk. (116-1:20 μm -116-2:5 μm)	117. <i>Ligustrum vulgare</i> L. (117-1:20 μm -117-2:5 μm)
118. <i>Jasminum nudiflorum</i> f. <i>pulvinatum</i> (W.W.Sm.) P.S.Green (118-1:20 μm -118-2:10 μm)	119. <i>Syringa vulgaris</i> L. (119-1:20 μm -119-2:5 μm)	120. <i>Antirrhinum majus</i> L. (120-1:10 μm -120-2:5 μm)
121. <i>Buddleja davidii</i> Franch. (121-1:10 μm -121-2:4 μm)	122. <i>Lantana camara</i> L. (122-1:20 μm -122-2:5 μm)	123. <i>Achillea</i> sp. (123-1:20 μm -123-2:5 μm)
124. <i>Ageratum houstonianum</i> Mill. (124-1:10 μm -124-2:5 μm)	125. <i>Aster amellus</i> L. (125-1:10 μm -125-2:5 μm)	126. <i>Bellis perennis</i> L. (126-1:20 μm -126-2:5 μm)
127. <i>Calendula officinalis</i> L. (127-1:20 μm -127-2:30 μm)	128. <i>Chrysanthemum</i> sp. (128-1:10 μm -128-2:5 μm)	129. <i>Dahlia pinnata</i> Cav. (129-1:20 μm -129-2:5 μm)
130. <i>Gaillardia × grandiflora</i> Hort. ex Van Houtte (130-1:20 μm -130-2:5 μm)	131. <i>Gazania rigens</i> (L.) Gaertn. (131-1:20 μm -131-2:5 μm)	132. <i>Helianthus annuus</i> L. (132-1:30 μm -132-2:10 μm)

ادامه جدول ۱- تصویرهای میکروسکوپ الکترونی گرده گونه‌های درختچه‌ای و گونه‌های علفی

Table 1. Cont. SEM of pollen's shrubs and herbaceous species

133. <i>Leucanthemum maximum</i> (Ramond) DC. (133-1:20 µm-133-2:5 µm)	134. <i>Pericallis hybrida</i> (Regel) B.Nord. (134-1:30 µm-134-2:5 µm)	135. <i>Rudbeckia hirta</i> L. (135-1:20 µm-135-2:10 µm)
136. <i>Jacobaea maritima</i> (L.) Pelser & Meijden (136-1:20 µm-136-2:10 µm)	137. <i>Symphytum dumosum</i> (L.) G.L.Nesom (137-1:20 µm-137-2:5 µm)	138. <i>Tagetes erecta</i> L. (138-1:20 µm-138-2:5 µm)
139. <i>Hedera helix</i> L. (139-1:20 µm-139-2:5 µm)	140. <i>Lonicera caprifolium</i> L. (140-1:100 µm-140-2:10 µm)	141. <i>Symporicarpos albus</i> (L.) S.F.Blake (141-1:20 µm-141-2:5 µm)
142. <i>Weigela florida</i> (Bunge) A. DC. (142-1:30 µm-142-2:5 µm)	143. <i>Sambucus canadensis</i> L. (143-1:10 µm-143-2:5 µm)	144. <i>Sambucus nigra</i> L. (144-1:10 µm-144-2:5 µm)
145. <i>Viburnum opulus</i> L. (145-1:20 µm-145-2:5 µm)		

شرح گرده گونه‌ها

Cycadaceae

Cycas revoluta Thunb.

Pollen unit: monad; polarity: heteropolar; shape: oblate; outline in polar view: elliptic; size: medium-sized; aperture type: sulcus; aperture condition: sulcate; ornamentation SEM: perforate, psilate

Cupressaceae

Cupressus arizonica Greene

pollen unit: monad; polarity: heteropolar; shape: irregular; outline in polar view: irregular;

size: small; aperture type: ulcus; aperture

condition: ulcerate; ornamentation SEM:

granulate

Cupressus sempervirens L.

Pollen unit: monad; polarity: heteropolar; shape: irregular; outline in polar view: irregular; size: small; aperture type: ulcus; aperture condition: ulcerate; ornamentation SEM: granulate

Juniperus horizontalis Moench

pollen unit: monad; polarity: heteropolar;

shape: irregular; outline in polar view: irregular;	<i>Anthonium scherzerianum</i> Schott.
size: small; aperture type: ulcus;	pollen unit: monad; polarity: heteropolar;
aperture condition: ulcerate;	shape: irregular; outline in polar view: irregular;
ornamentation SEM: granulate	size: small; aperture type: porus;
<i>Platycladus orientalis</i> (L.) Franco	perture condition: porate;
pollen unit: monad; polarity: heteropolar;	ornamentation SEM: reticulat
shape: irregular; outline in polar view: irregular;	<i>Alstroemeriaeae</i>
size: small; aperture type: no aperture;	<i>Alstroemeria aurantiaca</i> D.Don
aperture condition: inaperturate;	pollen unit: monad; polarity: heteropolar; shape:
ornamentation SEM: granulate	oblate; outline in polar view: elliptic; size: large;
Taxaceae	aperture type: sulcus; aperture condition: sulcate;
<i>Taxus baccata</i> L.	ornamentation SEM: striato-reticulate
pollen unit: monad; polarity: heteropolar;	<i>Liliaceae</i>
shape: irregular; outline in polar view: irregular;	<i>Lilium</i> sp.
size: medium-sized; aperture type: no aperture;	pollen unit: monad; polarity: heteropolar;
aperture condition: inaperturate;	shape: oblate; outline in polar view: elliptic; size:
ornamentation SEM: microgemmae	large; aperture type: sulcus; aperture condition: sulcate; ornamentation SEM:
Calycanthaceae	reticulate, reticulum cristatum, gemmate
<i>Chimonanthus praecox</i> (L.) Link	<i>Tulipa</i> sp.
pollen unit: monad; polarity: isopolar;	pollen unit: monad; polarity: heteropolar;
shape: oblate; outline in polar view: lobate;	shape: oblate; outline in polar view: irregular;
size: medium-sized; aperture type: sulcus;	size: large; aperture type: sulcus;
aperture condition: sulcate, disulcate;	aperture condition: sulcate; ornamentation SEM:
ornamentation SEM: perforat, fossulate	regulate
Lauraceae	<i>Amaryllidaceae</i>
<i>Laurus nobilis</i> L.	<i>Crinum bulbispermum</i> (Burm.f.) Milne-Redh. & Schweick.
pollen unit: monad; polarity: isopolar;	pollen unit: monad; polarity: heteropolar; shape:
shape: spheroidal; outline in polar view: circular;	oblate; outline in polar view: elliptic; size: large;
size: medium-sized; aperture type: no aperture;	aperture type: sulcus; aperture condition: sulcate;
aperture condition: inaperturate;	ornamentation SEM: microbaculate
ornamentation SEM: microechinate,	<i>Narcissus tazetta</i> L.
microgemmae	
Araceae	

pollen unit: monad;	polarity: heteropolar;	pollen unit: monad;	polarity: isopolar;
shape: oblate;	outline in polar view: elliptic;	shape: spheroidal;	outline in polar view: circular;
size: medium-sized	aperture type: sulcus;	size: large;	aperture type: sulcus;
aperture condition: sulcate;		aperture condition: sulcate;	
ornamentation SEM: reticulate		ornamentation SEM: microechinate, perforate	
Asparagaceae		<i>Freesia refracta</i> (Jacquin) Klatt	
<i>Chlorophytum comosum</i> (Thunb.) Jacques		pollen unit: monad;	polarity: heteropolar;
pollen unit: monad;	polarity: heteropolar;	shape: oblate;	outline in polar view: elliptic;
shape: oblate;	outline in polar view: elliptic;	size: large;	aperture type: sulcus;
size: medium-sized	aperture type: sulcus;	aperture condition: sulcate;	
aperture condition: sulcate;		ornamentation SEM: microechinate, perforate	
ornamentation SEM: microreticulate, perforate		<i>Gladiolus grandiflorus</i> Andrews	
<i>Hosta capitata</i> (Koidz.) Nakai		pollen unit: monad;	polarity: heteropolar;
pollen unit: monad;	polarity: heteropolar;	shape: oblate;	outline in polar view: elliptic ;
shape: oblate;	outline in polar view: elliptic;	size: large;	aperture type: sulcus;
size: large;	aperture type: sulcus;	aperture condition: sulcate;	
aperture condition: sulcate;	ornamentation SEM:	ornamentation SEM: microechinate, perforate	
clavate		<i>Iris × germanica</i> L.	
<i>Yucca filamentosa</i> L.		pollen unit: monad;	polarity: heteropolar;
pollen unit: monad;	polarity: heteropolar;	shape: spheroidal;	outline in polar view: circular;
shape: oblate;	outline in polar view: elliptic;	size: large;	aperture type: sulcus;
size: large;	aperture type: sulcus;	aperture condition: sulcate;	
aperture condition: sulcate;		ornamentation SEM: reticulate,	free-standing
ornamentation SEM: psilate		columellae	
Asphodelaceae		Cyperaceae	
<i>Hemerocallis fulva</i> (L.) L.		<i>Cyperus alternifolius</i> L.	
pollen unit: monad;	polarity: heteropolar;	pollen unit: tetrad;	polarity: heteropolar;
shape: oblate;	outline in polar view: elliptic;	shape: prolate;	outline in polar view: elliptic;
size: large;	aperture type: sulcus;	size: medium-sized;	aperture type: poroid;
aperture condition: sulcate;	ornamentation SEM:	aperture condition: poroidate;	
reticulate		ornamentation SEM: microechinate, perforate	
Iridaceae		Poaceae	
<i>Crocosmia × crocosmiiflora</i> (Lemoine) N.E.Br.		<i>Cortaderia selloana</i> (Schult. & Schult.f.) Asch. &	

Graebn.	pollen unit: monad; polarity: isopolar; shape: spheroidal; outline in polar view: circular; size: large; aperture type: no aperture; aperture condition: inaperture; ornamentation SEM: psilate
<i>Cynodon dactylon</i> (L.) Pers.	Berberidaceae
pollen unit: monad; polarity: heteropolar; shape: prolate; outline in polar view: irregular; size: medium-sized; aperture type: ulcus; aperture condition: ulcerate; ornamentation SEM: areolate, microechinate	<i>Berberis</i> × <i>ottawensis</i> C.K. Schneid pollen unit: monad; polarity: heteropolar; shape: irregular; outline in polar view: irregular; size: medium-sized; aperture type: spiral aperture; aperture condition: colpate, spiraperturate; ornamentation SEM: perforate
<i>Festuca</i> sp.	<i>Mahonia japonica</i> (Thunb.) DC. pollen unit: monad; polarity: heteropolar; shape: irregular; outline in polar view: irregular; size: medium-sized; aperture type: colpus; aperture condition: colpate, syncolpate; ornamentation SEM: perforate
<i>Commelinaceae</i>	Ranunculaceae
<i>Tradescantia pallida</i> (Rose) D.R.Hunt	<i>Aquilegia vulgaris</i> L.
pollen unit: monad; polarity: heteropolar; shape: oblance; outline in polar view: elliptic; size: large; aperture type: sulcus; aperture condition: sulcate; ornamentation SEM: fossulate	pollen unit: monad; polarity: isopolar; shape: prolate; outline in polar view: lobate; size: small; aperture type: colpus; aperture condition: colpate, tricolpate; ornamentation SEM: microechinate, perforate
<i>Cannaceae</i>	Crassulaceae
<i>Canna indica</i> L.	<i>Bryophyllum daigremontianum</i> (Raym.-Hamet & Perrier) A.Berger
pollen unit: monad; polarity: isopolar; shape: spheroidal; outline in polar view: circular; size: large; aperture type: porus; aperture condition: pantoporate; ornamentation SEM: baculate	pollen unit: monad; polarity: isopolar; shape: prolate; outline in polar view: lobate; size: medium-sized; aperture type: colpus; aperture condition: colpate, tricolpate; ornamentation SEM: regulate
<i>Strelitziaeae</i>	
<i>Strelitzia reginae</i> Banks	

<i>Kalanchoe blossfeldiana</i> Poelln.		ornamentation SEM: reticulate
pollen unit: monad; polarity: isopolar;		Oxalidaceae
shape: prolate; outline in polar view: lobate;		<i>Oxalis triangularis</i> A. St.-Hil.
size: medium-sized; aperture type: colpus;		pollen unit: monad; polarity: isopolar;
aperture condition: colpate, tricolporate;		shape: prolate; outline in polar view: lobate;
ornamentation SEM: rugulate		size: medium-sized; aperture type: colpus;
<i>Sedum spectabile</i> Boreau		aperture condition: colpate, tricolporate;
pollen unit: monad; polarity: isopolar;		ornamentation SEM: reticulate
shape: prolate; outline in polar view: lobate;		Euphorbiaceae
size: small; aperture type: colporus;		<i>Euphorbia pulcherrima</i> Willd. ex Klotzsch
aperture condition: colporate, tricolporate;		pollen unit: monad; polarity: isopolar;
ornamentation SEM: regulate		shape: prolate; outline in polar view: lobate;
Saxifragaceae		size: medium-sized; aperture type: colpus;
<i>Bergenia crassifolia</i> (L.) Fritsch		aperture condition: colpate, tricolporate;
pollen unit: monad; polarity: isopolar;		ornamentation SEM: reticulate, free-standing
shape: prolate; outline in polar view: lobate;		columellae
size: medium-sized; aperture type: colpus;		<i>Ricinus communis</i> L.
aperture condition: colpate, tricolporate;		pollen unit: monad; polarity: isopolar;
ornamentation SEM: perforate		shape: prolate; outline in polar view: lobate;
Vitaceae		size: medium-sized; aperture type: colpus;
<i>Parthenocissus tricuspidata</i> (Siebold & Zucc.)		aperture condition: colpate, tricolporate;
Planch.		ornamentation SEM: microreticulate
pollen unit: monad; polarity: isopolar;		Hypericaceae
shape: prolate; outline in polar view: lobate;		<i>Hypericum patulum</i> Thunb.
size: medium-sized; aperture type: colpus;		pollen unit: monad; polarity: isopolar;
aperture condition: colpate, tricolporate;		shape: spheroidal; outline in polar view: lobate;
ornamentation SEM: reticulate		size: small; aperture type: colpus;
Celasteraceae		aperture condition: colpate, tricolporate
<i>Euonymus japonicus</i> Thunb.		ornamentation SEM: microreticulate, perforate
pollen unit: monad; polarity: isopolar; shape:		Violaceae
prolate; outline in polar view: lobate;		<i>Viola tricolor</i> L.
size: medium-sized; aperture type: colporus;		pollen unit: monad; polarity: heteropolar;
aperture condition: colporate, tricolporate;		shape: oblate; outline in polar view: polygonal;

size:large;	aperture type: colporus;	aperture condition: colporate,	tricolporate;
aperture condition: colporate, stephanocolporate;		ornamentation SEM: perforate	
ornamentation SEM: perforate		Rosaceae	
Fabaceae		<i>Chaenomeles japonica</i> (Thunb.) Lindl. ex Spach	
<i>Amorpha fruticosa</i> L.		pollen unit: monad; polarity: isopolar;	
pollen unit: monad; polarity: isopolar;	shape: prolate; outline in polar view:	shape: prolate; outline in polar view: lobate;	
shape: prolate; outline in polar view:	size: medium-sized; aperture type: colpus;	size: medium-sized; aperture type: colpus;	
quadrangular; size: small; aperture type: colpus;	aperture condition: colpate, tricolpate;	aperture condition: colpate, tricolpate;	
aperture condition: colpate, tricolpate;	ornamentation SEM: striate, perforate	ornamentation SEM: striate, perforate	
ornamentation SEM: peforate		<i>Cotoneaster procumbens</i> Gerald.	
<i>Caesalpinia gilliesii</i> (Hook.) D.Dietr.		pollen unit: monad; polarity: isopolar;	
pollen unit: monad; polarity: isopolar;	shape: prolate; outline in polar view: lobate;	shape: prolate; outline in polar view: lobate;	
shape: prolate; outline in polar view: lobate;	size: medium-sized; aperture type: colpus;	size: medium-sized; aperture type: colpus;	
size: large; aperture type: colporus;	aperture condition: colporate, tricolporate;	aperture condition: colpate, tricolpate;	
aperture condition: colporate, tricolporate;	ornamentation SEM: reticulate	ornamentation SEM: striate, perforate	
ornamentation SEM: reticulate		<i>Cotoneaster horizontalis</i> Decne.	
<i>Cercis siliquastrum</i> L.		pollen unit: monad; polarity: isopolar;	
pollen unit: monad; polarity: isopolar;	shape: prolate; outline in polar view: lobate ;	shape: prolate; outline in polar view: lobate;	
shape: prolate; outline in polar view: lobate ;	size: medium-sized; aperture type: colpus;	size: medium-sized; aperture type: colpus;	
size: medium-sized; aperture type: colpus;	aperture condition: colpate, tricolpate;	aperture condition: colpate, tricolpate;	
aperture condition: colpate, tricolpate;	ornamentation SEM:reticulate, free-standing	ornamentation SEM: striate, perforate	
ornamentation SEM:reticulate, free-standing	columellae	<i>Eriobotrya japonica</i> (Thunb.) Lindl.	
columellae		pollen unit: monad; polarity: isopolar; shape:	
<i>Spartium junceum</i> L.		oblate; outline in polar view: circular; size: small;	
pollen unit: monad; polarity: isopolar;	aperture type: colporus;	aperture type: colporus;	
shape: spheroidal; outline in polar view: circular;	aperture condition: colporate, tricolporate;	aperture condition: colporate, tricolporate;	
size: medium-sized; aperture type: colpus;	ornamentation SEM: perforate	ornamentation SEM: perforate	
aperture condition: colpate, tricolpate;		<i>Photinia serrulata</i> auct.	
ornamentation SEM: perforate		pollen unit: monad; polarity: isopolar;	
<i>Wisteria sinensis</i> (Sims) Sweet		shape: prolate; outline in polar view: lobate;	
pollen unit: monad; polarity: isopolar;	size: medium-sized; aperture type: colpus;	size: medium-sized; aperture type: colpus;	
shape: spheroidal; outline in polar view: circular;	aperture condition: colpate, tricolpate;	aperture condition: colpate, tricolpate;	
size: medium-sized; aperture type: colporus;	ornamentation SEM: striate, perforate	ornamentation SEM: striate, perforate	

<i>Pyracantha atalantoides</i> (Hance) Stapf	size: small;	aperture type: colpus;
pollen unit: monad; polarity: isopolar;	aperture condition: colpate, tricolpate;	
shape: prolate; outline in polar view: lobate;	ornamentation SEM: striate, perforate	
size: medium-sized; aperture type: colpus;		
aperture condition: colpate, tricolpate;		
ornamentation SEM: striate, perforate		
<i>Rosa</i> sp.		
pollen unit: monad; polarity: isopolar;		
shape: prolate; outline in polar view: lobate;		
size: medium-sized; aperture type: colpus;		
aperture condition: colpate, tricolpate;		
ornamentation SEM: striate, perforate		
<i>Rosa</i> sp.		
pollen unit: monad; polarity: isopolar;		
shape: prolate; outline in polar view: lobate;		
size: medium-sized; aperture type: colpus;		
aperture condition: colpate, tricolpate;		
ornamentation SEM: striate, perforate		
<i>Rosa canina</i> L		
pollen unit: monad; polarity: isopolar;		
shape: prolate; outline in polar view: lobate;		
size: medium-sized; aperture type: colpus;		
aperture condition: colpate, tricolpate;		
ornamentation SEM: striate, perforate		
<i>Rubus caesius</i> L.		
pollen unit: monad; polarity: isopolar;		
shape: prolate; outline in polar view: lobate;		
size: medium-sized; aperture type: colpus;		
aperture condition: colpate, tricolpate;		
ornamentation SEM: striate, perforate		
<i>Spiraea crenata</i> L.		
pollen unit: monad; polarity: isopolar;		
shape: prolate; outline in polar view: lobate;		
size: small; aperture type: colpus;		
aperture condition: colpate, tricolpate;		
ornamentation SEM: striate, perforate		
<i>Spiraea japonica</i> L.f.		
pollen unit: monad; polarity: isopolar;		
shape: prolate; outline in polar view: lobate;		
size: small; aperture type: colpus;		
aperture condition: colpate, tricolpate;		
ornamentation SEM: striate, perforate		
Begoniaceae		
<i>Begonia semperflorens</i> Hook		
pollen unit: monad; polarity: isopolar;		
shape: prolate; outline in polar view: circular;		
size: small; aperture type: colporus;		
aperture condition: colporate, tricolporate;		
ornamentation SEM: striate		
Geraniaceae		
<i>Pelargonium zonale</i> (L.) L'Hér. ex Aiton		
pollen unit: monad; polarity: isopolar;		
shape: spheroidal; outline in polar view: circular;		
size: large; aperture type: colporus;		
aperture condition: colporate, tricolporate;		
ornamentation SEM: striato-reticulate		
Lythraceae syn.Punicaceae		
<i>Lagerstroemia indica</i> L.		
pollen unit: monad; polarity: heteropolar; shape: irregular;		
outline in polar view: irregular;		
size: medium-sized; aperture type: colporus;		
aperture condition: colporate, tricolporate;		
ornamentation SEM: fossulate		
<i>Punica granatum</i> L.		
pollen unit: monad; polarity: isopolar;		
shape: prolate; outline in polar view: lobate;		

size: small;	aperture type: colporus;	shape: spheroidal; outline in polar view: circular;
aperture condition: colporate,	tricolporate;	size: very large; aperture type: porus;
ornamentation SEM: fossulate		aperture condition: porate, pantoporate;
Myrtaceae		ornamentation SEM: echinate, microgemmae
<i>Callistemon viminalis</i> (Sol. ex Gaertn.) G.Don		Brassicaceae
pollen unit: monad; polarity: isopolar;		<i>Brassica oleracea</i> L.
shape: oblate; outline in polar view: triangular;		pollen unit: monad; polarity: isopolar;
size: small; aperture type: colporus;		shape: prolate; outline in polar view: lobate;
aperture condition: colporate, tricolporate;		size: medium-sized; perture type: colpus;
ornamentation SEM: verrucate		aperture condition: colpate, tricolpate;
Onagraceae		ornamentation SEM: reticulate-heterobrochate, free-standing columellae
<i>Oenothera biennis</i> L.		<i>Erysimum × cheiri</i> (L.) Crantz
pollen unit: monad; polarity: heteropolar;		pollen unit: monad; polarity: isopolar;
shape: oblate; outline in polar view: triangular;		shape: prolate; outline in polar view: lobate;
size: very large; aperture type: porus;		size: medium-sized; perture type: colpus;
aperture condition: porate, triporate;		aperture condition: colpate, tricolpate;
ornamentation SEM: microgemmae		ornamentation SEM: reticulate
<i>Oenothera speciosa</i> Nutt.		<i>Lobularia maritima</i> (L.) Desv.
pollen unit: monad; polarity: heteropolar;		pollen unit: monad; polarity: isopolar;
shape: oblate; outline in polar view: triangular;		shape: prolate; outline in polar view: lobate;
size: very large; aperture type: porus;		size: small; aperture type: colpus;
aperture condition: porate, triporate;		aperture condition: colpate, tricolpate;
ornamentation SEM: microgemmae		ornamentation SEM: reticulate
Sapindaceae		<i>Matthiola incana</i> (L.) R.Br.
<i>Koelreuteria paniculata</i> Laxm.		pollen unit: monad; polarity: isopolar; shape:
pollen unit: monad; polarity: isopolar;		prolate; outline in polar view: lobate; size: small;
shape: prolate; outline in polar view: lobate;		aperture type: colpus; aperture condition: colpate,
size: medium-sized; aperture type: colporus;		tricolpate; ornamentation SEM: reticulate
aperture condition: colporate, tricolporate;		Cleomaceae
ornamentation SEM: striate, perforate		<i>Cleome hassleriana</i> Chodat
Malvaceae		pollen unit: monad; polarity: isopolar;
<i>Hibiscus syriacus</i> L.		shape: prolate; outline in polar view: lobate;
pollen unit: monad; polarity: isopolar;		

size: medium-sized;	aperture type: colpus;	size: small;	aperture type: porus;
aperture condition: colpate,	tricolpate;	aperture condition: porate,pantoporate;	
ornamentation SEM: microechinate, perforate		ornamentation SEM: microechinate, perforate	
Tropaeolaceae			<i>Amaranthus creuntus</i> L.
<i>Tropaeolum majus</i> L.			
pollen unit: monad;	polarity: isopolar;	pollen unit: monad;	polarity: heteropolar;
shape: oblate;	outline in polar view: triangular;	shape: irregular;	outline in polar view: irregular;
size: small;	aperture type: colporus;	size: small;	aperture type: porus;
aperture condition: colporate,	tricolporate;	aperture condition: porate,pantoporate;	
ornamentation SEM: reticulate, perforate		ornamentation SEM: microechinate,perforate	
Aizoaceae			<i>Celosia spicata</i> Spreng.
<i>Aptenia cordifolia</i> (L.f.) Schwantes			
pollen unit: monad;	polarity: isopolar;	pollen unit: monad;	polarity: isopolar;
shape: prolate;	outline in polar view: lobate;	shape: spheroidal;	outline in polar view: circular;
size: medium-sized;	aperture type: colpus;	size: medium-sized;	aperture type: porus;
aperture condition: colpate,	tricolpate;	aperture condition: porate,pantoporate;	
ornamentation SEM: fossulate		ornamentation SEM: microechinate, perforate	
<i>Carpobrotus edulis</i> (L.) N.E.Br.			Caryophyllaceae
pollen unit: monad;	polarity: isopolar;	<i>Dianthus plumarius</i> L.	
shape: spheroidal;	outline in polar view: circular;	pollen unit: monad;	polarity: isopolar;
size: medium-sized;	aperture type: colpus;	shape: spheroidal;	outline in polar view: circular;
aperture condition: colpate,	tricolpate;	size: medium-sized;	aperture type: porus;
ornamentation SEM: echinate, perforate		aperture condition: porate,	pantoporate;
Amaranthaceae			ornamentation SEM: microechinate, perforate
<i>Amaranthus cristatus</i> Noronha			<i>Dianthus barbatus</i> L.
pollen unit: monad;	polarity: isopolar;	pollen unit: monad;	polarity: heteropolar;
shape: spheroidal;	outline in polar view: circular;	shape: oblate;	outline in polar view: polygonal;
size: small;	aperture type: porus;	size: medium-sized;	aperture type: porus;
aperture condition: porate,pantoporate;		aperture condition: porate,	pantoporate;
ornamentation SEM: microechinate, perforate		ornamentation SEM: microechinate, perforate	
<i>Amaranthus retroflexus</i> L.			<i>Gypsophila</i> sp.
pollen unit: monad;	polarity: heteropolar;	pollen unit: monad;	polarity: heteropolar;
shape: irregular;	outline in polar view: irregular;	shape: oblate;	outline in polar view: polygonal;
		size: medium-sized;	aperture type: porus;
		aperture condition: porate,	pantoporate;

ornamentation SEM: microechinate, perforate	size: medium-sized;	aperture type: colpus;
Nyctaginaceae	aperture condition: colpate,	tricolpate;
<i>Bougainvillea glabra</i> Choisy	ornamentation SEM: microechinate, perforate	
pollen unit: monad; polarity: isopolar;	Portulacaceae	
shape: spheroidal; outline in polar view: circular;	<i>Portulaca grandiflora</i> Hook.	
size: medium-sized; aperture type: colpus;	pollen unit: monad; polarity: heteropolar;	
aperture condition: colpate, tricolpate;	shape: spheroidal; outline in polar view: lobate;	
ornamentation SEM: reticulate, free-standing	size: large; aperture type: colpus;	
columellae	aperture condition: colpate, pantocolpate;	
<i>Mirabilis jalapa</i> L.	ornamentation SEM: echinate, perforate	
pollen unit: monad; polarity: isopolar;	Cornaceae	
shape: spheroidal; outline in polar view: circular;	<i>Cornus sanguinea</i> L.	
size: very large; aperture type: porus;	pollen unit: monad; polarity: isopolar;	
aperture condition: porate, pantoporate;	shape: spheroidal; outline in polar view: circular;	
ornamentation SEM: echinate, perforate	size: medium-sized; aperture type: colporus;	
Plumbaginaceae	aperture condition: colporate, tricolporate;	
<i>Limonium</i> sp.	ornamentation SEM: perforate, microechinate	
pollen unit: monad; polarity: isopolar;	Hydrangeaceae	
shape: oblate; outline in polar view: circular; size:	<i>Hydrangea macrophylla</i> (Thunb.) Ser.	
medium-sized; aperture type: colpus;	pollen unit: monad; polarity: isopolar;	
aperture condition: colpate, tricolpate;	shape: prolate; outline in polar view: lobate;	
ornamentation SEM: reticulate, reticulum	size: small; aperture type: colporus;	
cristatum	aperture condition: colporate, tricolporate;	
<i>Plumbago auriculata</i> Lam.	ornamentation SEM: reticulate	
pollen unit: monad; polarity: isopolar;	<i>Philadelphus × virginalis</i> Rehder	
shape: prolate; outline in polar view: lobate; size:	pollen unit: monad; polarity: isopolar;	
large; aperture type: colpus;	shape: spheroidal; outline in polar view: circular;	
aperture condition: colpate, tricolpate;	size: small; aperture type: colporus;	
ornamentation SEM: clavate	aperture condition: colporate, tricolporate;	
Polygonaceae	ornamentation SEM: microreticulate	
<i>Fallopia baldschuanica</i> (Regel) Holub	Balsaminaceae	
pollen unit: monad; polarity: isopolar;	<i>Impatiens balsamina</i> L.	
shape: prolate; outline in polar view: lobate;	pollen unit: monad; polarity: isopolar;	

shape: oblate; outline in polar view: quadrangular; size: medium-sized; aperture type: colpus; aperture condition: colpate, tetracolpate; ornamentation SEM: reticulate, free-standing columellae	pollen unit: monad; polarity: isopolar; shape: prolate; outline in polar view: lobate; size: large; aperture type: colpus; aperture condition: colpate, tricolpate; ornamentation SEM: psilate
Ericaceae	Gentianaceae
<i>Rhododendron simsii</i> Planch.	<i>Eustoma grandiflorum</i> (Raf.) Shinners
pollen unit: tetrad; polarity: heteropolar; shape: prolate; outline in polar view: circular; size: medium-sized; aperture type: colporus; aperture condition: colporate, tricolporate; ornamentation SEM: psilate, fossulate	pollen unit: monad; polarity: isopolar; shape: oblate; outline in polar view: circular; size: medium-sized; aperture type: colporus; aperture condition: colporate, tricolporate; ornamentation SEM: striato-reticulate
Primulaceae	Convolvulaceae
<i>Cyclamen</i> sp.	<i>Ipomoea tricolor</i> Cav.
pollen unit: monad; polarity: isopolar; shape: prolate; outline in polar view: lobate; size: small; aperture type: colpus; aperture condition: colpate, tricolpate; ornamentation SEM: microreticulate, perforate	pollen unit: monad; polarity: isopolar; shape: spheroidal; outline in polar view: circular; size: large; aperture type: porus; aperture condition: porate, pantoporate; ornamentation SEM: echinate
Apocynaceae	Solanaceae
<i>Nerium oleander</i> L.	<i>Capsicum annuum</i> L.
pollen unit: monad; polarity: heteropolar; shape: irregular; outline in polar view: irregular; size: medium-sized; aperture type: porus; aperture condition: porate, tetraporate; ornamentation SEM: psilate	pollen unit: monad; polarity: isopolar; shape: prolate; outline in polar view: lobate; size: medium-sized; aperture type: colpus; aperture condition: colpate, tricolpate; ornamentation SEM: microechinate, perforate
<i>Catharanthus roseus</i> (L.) G.Don	<i>Datura innoxia</i> Mill.
pollen unit: monad; polarity: isopolar; shape: prolate; outline in polar view: lobate; size: large; aperture type: colpus; aperture condition: colpate, tricolpate; ornamentation SEM: perforate	pollen unit: monad; polarity: isopolar; shape: spheroidal; outline in polar view: circular; size: medium-sized; aperture type: colporus; aperture condition: colporate, tricolporate; ornamentation SEM: fossulate
<i>Vinca minor</i> L.	<i>Datura maxima</i> Moc. & Sessé ex Dunal

pollen unit: monad;	polarity: isopolar;	<i>Clerodendrum bungei</i> Steud.
shape: spheroidal; outline in polar view: circular;		
size: medium-sized; aperture type: colpus;		
aperture condition: colpate, tricolpate;		
ornamentation SEM: striate		
<i>Petunia axillaris</i> (Lam.) Britton, Sterns & Poggenb.		
pollen unit: monad; polarity: isopolar;		
shape: spheroidal;		
outline in polar view: triangular; size: medium-sized;	aperture type: colporus;	
aperture condition: colporate, tricolporate;		
ornamentation SEM: striate, regulate		
<i>Solanum dulcamara</i> L.		
pollen unit: monad; polarity: isopolar;		
shape: prolate; outline in polar view: lobate;		
size: small; aperture type: colpus;		
aperture condition: colpate, tricolpate;		
ornamentation SEM: microechinate, perforate		
<i>Solanum luteum</i> Mill.		
pollen unit: monad; polarity: isopolar;		
shape: prolate; outline in polar view: lobate;		
size: small; aperture type: colpus;		
aperture condition: colpate, tricolpate;		
ornamentation SEM: microechinate, perforate		
Bignoniaceae		
<i>Campsis radicans</i> (L.) Seem.		
pollen unit: monad; polarity: isopolar;		
shape: prolate; outline in polar view: lobate;		
size: medium-sized; aperture type: colpus;		
aperture condition: colpate, tricolpate;		
ornamentation SEM: reticulate		
Lamiaceae		
		<i>Clerodendrum bungei</i> Steud.
		pollen unit: monad; polarity: isopolar;
		shape: prolate; outline in polar view: lobate;
		size: medium-sized; aperture type: colpus;
		aperture condition: colpate, tricolpate;
		ornamentation SEM: echinate
		<i>Lavandula angustifolia</i> Mill.
		pollen unit: monad; polarity: isopolar;
		shape: oblate; outline in polar view: elliptic;
		size: medium-sized; aperture type: colpus;
		aperture condition: colpate, hexocolpate,
		stephanocolpate; ornamentation SEM: perforate
		<i>Mentha longifolia</i> (L.) L.
		pollen unit: monad; polarity: isopolar;
		shape: prolate; outline in polar view: elliptic;
		size: medium-sized; aperture type: colpus;
		aperture condition: colpate, hexocolpate,
		stephanocolpate;
		ornamentation SEM: microreticulate
		<i>Rosmarinus officinalis</i> L.
		pollen unit: monad; polarity: isopolar;
		shape: prolate; outline in polar view: elliptic;
		size: medium-sized; aperture type: colpus;
		aperture condition: colpate, hexocolpate,
		stephanocolpate;
		ornamentation SEM: microreticulate
		<i>Salvia splendens</i> Sellow ex Schult.
		pollen unit: monad; polarity: isopolar;
		shape: oblate; outline in polar view: elliptic;
		size: medium-sized; aperture type: colpus;
		aperture condition: colpate, hexocolpate,
		stephanocolpate; ornamentation SEM: reticulate,
		microreticulate, bireticulate

Oleaceae		pollen unit: monad; polarity: isopolar;
<i>Forsythia × intermedia</i> Zabel		shape: prolate; outline in polar view: lobate;
pollen unit: monad; polarity: isopolar;	size: medium-sized; aperture type: colpus;	size: medium-sized; aperture type: colpus;
shape: prolate; outline in polar view: lobate;	aperture condition: colpate, tricolpate;	aperture condition: colpate, tricolpate;
size: medium-sized; aperture type: colporus;	ornamentation SEM: reticulate	ornamentation SEM: reticulate
aperture condition: colporate, tricolporate;		Plantaginaceae
ornamentation SEM: reticulate		<i>Antirrhinum majus</i> L.
<i>Ligustrum lucidum</i> W.T.Aiton		pollen unit: monad; polarity: isopolar;
pollen unit: monad; polarity: isopolar;	shape: prolate; outline in polar view: lobate;	shape: prolate; outline in polar view: lobate;
shape: prolate; outline in polar view: lobate;	size: medium-sized; aperture type: colpus;	size: medium-sized; aperture type: colpus;
size: medium-sized; aperture type: colporus;	aperture condition: colpate, tricolpate;	aperture condition: colpate, tricolpate;
aperture condition: colporate, tricolporate;	ornamentation SEM: reticulate	ornamentation SEM: microreticulate
ornamentation SEM: reticulate		Scrophulariaceae
<i>Ligustrum ovalifolium</i> Hassk.		<i>Buddleja davidii</i> Franch.
pollen unit: monad; polarity: isopolar;	shape: prolate; outline in polar view: lobate;	pollen unit: monad; polarity: isopolar;
shape: prolate; outline in polar view: lobate;	size: medium-sized; aperture type: colpus;	shape: prolate; outline in polar view: lobate;
size: medium-sized; aperture type: colpus;	aperture condition: colpate, tricolpate;	size: medium-sized; aperture type: colpus;
aperture condition: colpate, tricolpate;	ornamentation SEM: reticulate	aperture condition: colpate, tricolpate;
ornamentation SEM: reticulate		ornamentation SEM: perforate
<i>Ligustrum vulgare</i> L.		Verbenaceae
pollen unit: monad; polarity: isopolar;	shape: prolate; outline in polar view: lobate;	<i>Lantana camara</i> L.
shape: prolate; outline in polar view: lobate;	size: medium-sized; aperture type: colpus;	pollen unit: monad; polarity: isopolar;
size: medium-sized; aperture type: colpus;	aperture condition: colpate, tricolpate;	shape: spheroidal; outline in polar view: circular;
aperture condition: colpate, tricolpate;	ornamentation SEM: reticulate	size: medium-sized; aperture type: colporus;
ornamentation SEM: reticulate		aperture condition: colporate, tricolporate;
<i>Jasminum nudiflorum</i> f. <i>pulvinatum</i> (W.W.Sm.)		ornamentation SEM: psilate, perforate
P.S.Green		Asteraceae
pollen unit: monad; polarity: isopolar;	shape: prolate; outline in polar view: lobate;	<i>Achillea</i> sp.
shape: prolate; outline in polar view: lobate;	size: medium-sized; aperture type: colpus;	pollen unit: monad; polarity: isopolar;
size: medium-sized; aperture type: colpus;	aperture condition: colpate, tricolpate;	shape: spheroidal; outline in polar view: circular;
aperture condition: colpate, tricolpate;	ornamentation SEM: reticulate	size: medium-sized; aperture type: colporus;
ornamentation SEM: reticulate		aperture condition: colporate, tricolporate;
<i>Syringa vulgaris</i> L.		ornamentation SEM: echinate, microreticulate

<i>Ageratum houstonianum</i> Mill.	size: medium-sized; aperture type: colpus;
pollen unit: monad; polarity: isopolar;	aperture condition: colpate, tricolpate;
shape: spheroidal; outline in polar view: circular;	ornamentation SEM: echinate, perforate
size: medium-sized; aperture type: colporus;	<i>Gaillardia × grandiflora</i> Hort. ex Van Houtte
aperture condition: colporate, tricolporate;	pollen unit: monad; polarity: isopolar;
ornamentation SEM: echinate, perforate	shape: spheroidal; outline in polar view: circular;
<i>Aster amellus</i> L.	size: medium-sized; aperture type: colpus;
pollen unit: monad; polarity: isopolar;	aperture condition: colpate, tricolpate;
shape: spheroidal; outline in polar view: circular;	ornamentation SEM: echinate, microreticulate
size: medium-sized; aperture type: colpus;	<i>Gazania rigens</i> (L.) Gaertn.
aperture condition: colporate, tricolporate;	pollen unit: monad; polarity: isopolar;
ornamentation SEM: echinate, perforate	shape: spheroidal; outline in polar view: circular;
<i>Bellis perennis</i> L.	size: medium-sized; aperture type: colpus;
pollen unit: monad; polarity: isopolar;	aperture condition: colpate, tricolpate;
shape: spheroidal; outline in polar view: circular;	ornamentation SEM: lophate, microreticulate
size: medium-sized; aperture type: colporus;	<i>Helianthus annuus</i> L.
aperture condition: colporate, tricolporate;	pollen unit: monad; polarity: isopolar;
ornamentation SEM: echinate, perforate	shape: spheroidal; outline in polar view: circular;
<i>Calendula officinalis</i> L.	size: medium-sized; aperture type: colpus;
pollen unit: monad; polarity: isopolar;	aperture condition: colpate, tricolpate;
shape: spheroidal; outline in polar view: circular;	ornamentation SEM: echinate, perforate
size: medium-sized; aperture type: colporus;	<i>Leucanthemum maximum</i> (Ramond) DC.
aperture condition: colporate, tricolporate;	pollen unit: monad; polarity: isopolar;
ornamentation SEM: echinate, perforate	shape: prolate; outline in polar view: lobate;
<i>Chrysanthemum</i> sp.	size: medium-sized; aperture type: colpus;
pollen unit: monad; polarity: isopolar;	aperture condition: colpate, tricolpate;
shape: spheroidal; outline in polar view: circular;	ornamentation SEM: echinate, microreticulate
size: medium-sized; aperture type: colporus;	<i>Pericallis hybrida</i> (Regel) B.Nord.
aperture condition: colporate, tricolporate;	pollen unit: monad; polarity: isopolar;
ornamentation SEM: echinate, perforate	shape: prolate; outline in polar view: lobate;
<i>Dahlia pinnata</i> Cav.	size: medium-sized; aperture type: colporus;
pollen unit: monad; polarity: isopolar;	aperture condition: colporate, tricolporate;
shape: spheroidal; outline in polar view: circular;	ornamentation SEM: echinate, perforate

Rudbeckia hirta L.

pollen unit: monad; polarity: isopolar;
shape: spheroidal; outline in polar view: circular;
size: medium-sized; aperture type: colporus;
aperture condition: colporate, tricolporate;
ornamentation SEM: echinate, perforate

Jacobaea maritima (L.) Pelser & Meijden

pollen unit: monad; polarity: isopolar;
shape: prolate; outline in polar view: lobate;
size: medium-sized; aperture type: colporus;
aperture condition: colporate, tricolporate;
ornamentation SEM: echinate, perforate

Symphyotrichum dumosum (L.) G.L.Nesom

pollen unit: monad; polarity: isopolar;
shape: prolate; outline in polar view: lobate;
size: medium-sized; aperture type: colpus;
aperture condition: colpate, tricolpate;
ornamentation SEM: echinate, microreticulate

Tagetes erecta L.

pollen unit: monad; polarity: isopolar;
shape: prolate; outline in polar view: lobate;
size: medium-sized; aperture type: colporus;
aperture condition: colporate, tricolporate;
ornamentation SEM: echinate, perforate

Araliaceae

Hedera helix L.

pollen unit: monad; polarity: isopolar;
shape: prolate; outline in polar view: elliptic;
size: medium-sized; aperture type: colporus;
aperture condition: colporate, tricolporate;
ornamentation SEM: reticulate-heterobrochate

Caprifoliaceae

Lonicera caprifolium L.

pollen unit: monad; polarity: heteropolar; shape:
irregular; outline in polar view: irregular; size:
large; aperture type: colpus;
aperture condition: colpate, tricolpate;
ornamentation SEM: echinate

Syphoricarpos cf. albus (L.) S.F.Blake

pollen unit: monad; polarity: isopolar; shape:
prolate; outline in polar view: triangular; size:
medium-sized; aperture type: porus;
aperture condition: porate, triporate;
ornamentation SEM: echinate

Weigela florida (Bunge) A. DC.

pollen unit: monad; polarity: isopolar; shape:
spheroidal; outline in polar view: circular; size:
medium-sized; aperture type: porus;
aperture condition: porate, triporate;
ornamentation SEM: echinate, microechinate,
granulate

Viburnaceae (Adoxaceae)

Sambucus canadensis L.

pollen unit: monad; polarity: isopolar;
shape: prolate; outline in polar view: lobate;
size: small; aperture type: colpus;
aperture condition: colpate, tricolpate;
ornamentation SEM: reticulate-heterobrochate,
free-standing columellae

Sambucus nigra L.

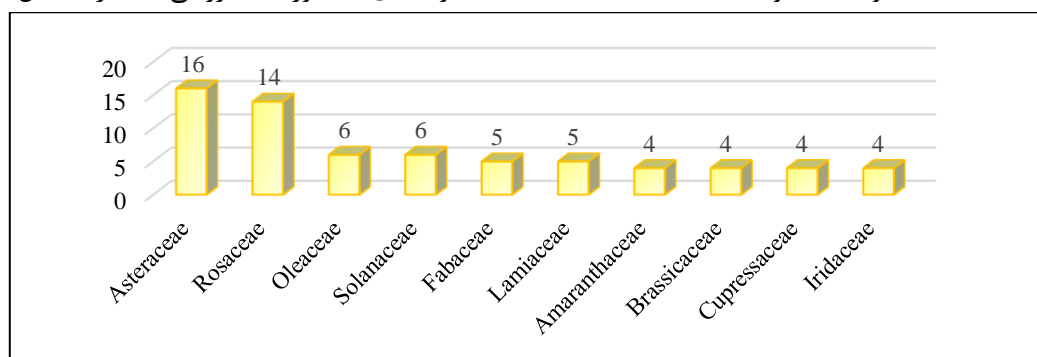
pollen unit: monad; polarity: isopolar;
shape: prolate; outline in polar view: lobate;
size: small; aperture type: colpus;
aperture condition: colpate, tricolpate;
ornamentation SEM: reticulate-heterobrochate

Viburnum opulus L.

pollen unit: monad; polarity: isopolar;
 shape: prolate; outline in polar view: lobate;
 size: medium-sized; aperture type: colpus;
 گونه‌های مورد مطالعه شامل ۹۰ گونه با اندازه متوسط (*Euphorbia pulcherrima*), ۲۸ گونه با ابعاد کوچک (*Aquilegia vulgaris*), ۲۴ گونه ابعاد بزرگ (*Alstroemeria aurantiaca*) و ۳ گونه خیلی بزرگ (*Oenothera biennis*) می‌باشد. منافذ دانه‌های گرده گونه‌های مورد مطالعه شامل ۶۷ گونه، colpus، colporus، (*Pyracantha atlantiooides*) ۳۳ گونه، *Amaranthus porosus*, (*Punica granatum*) ۱۷ گونه، (*Gladiolus sulcus*) ۱۶ گونه، (*cristatus*) ۶ گونه (*Cortaderia selloana*) ۶ گونه (*grandiflorus*) ۴ گونه بدون منفذ (*Strelitzia reginae*) ۱ گونه poroid spiral aperture (*Cyperus alternifolius*) و ۱ گونه (*Berberis thunbergii*) می‌باشد. تزئینات دانه‌های گرده شامل ۲۳ نوع متنوع می‌باشد که تزئینات *echinate*، *microechinate*، *reticulate*، *perforate* به ترتیب از بیشترین فراوانی برخوردارند (شکل ۲). از ۱۳۱ جنس مورد بررسی، ۴۳ جنس آرژیزا گزارش شده‌اند که خانواده Asteraceae با دارا بودن ۵ جنس آرژیزا و سپس خانواده‌های سرو و زیتون با ۳ جنس آرژیزا بیشترین فراوانی گونه‌های آرژیزا را در بین خانواده‌های مورد بررسی دارند (شکل ۳).

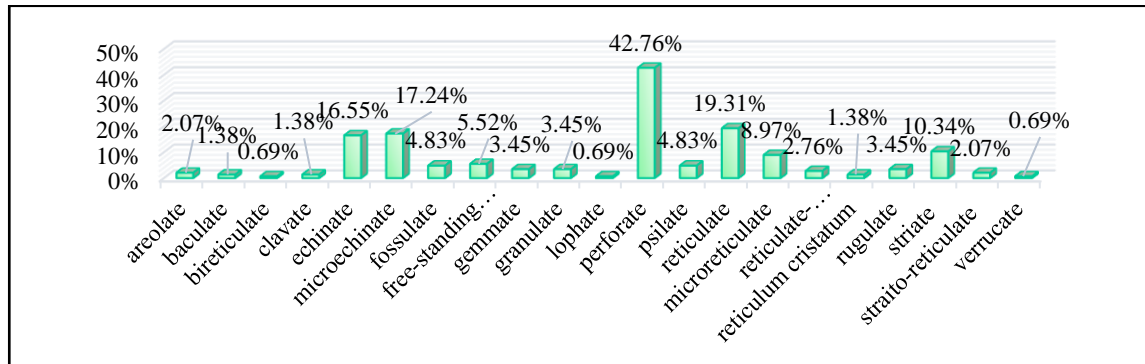
aperture condition: colpate, tricolpate; ornamentation
 SEM: reticulate, free-standing columellae

در این مطالعه، گرده ۱۴۵ گونه گیاهی متعلق به ۶۵ خانواده گیاهی شامل ۹۵ گونه علفی و ۵۰ گونه درختچه‌ای مورد بررسی قرار گرفته است. خانواده آفتابگردان با ۱۶ گونه و خانواده گلسرخیان با ۱۴ نمونه بیشترین نمونه‌ها را دارا هستند (شکل ۱). واحد انتشار دانه‌های گرده گونه‌های مورد مطالعه شامل ۱۴۳ گونه از *Rhododendron* و ۲ گونه از نوع monad (*simsii*) می‌باشد. قطبیت دانه‌های گرده گونه‌های مورد مطالعه شامل ۱۰۷ گونه از نوع (*Helianthus isopolar*) ۳۸ گونه (*Oenothera annuus*) و ۱۰ گونه از نوع (*speciosa*) می‌باشد. از بعد شکل‌های دانه‌های گرده، ۶۹ گونه از نوع (*Rosa hybride*) prolate، ۲۷ گونه از نوع (*Laurus nobilis*) spheroidal *Amaranthus* (irregular) و ۱۳ گونه از منظر چشم‌انداز قطبی شامل: ۶۱ گونه circular (*Brassica oleracea*) مانند (*Limonium sp.*) (*retroflexus*) می‌باشد. دانه‌های گرده گونه‌های مورد مطالعه از منظر چشم‌انداز قطبی شامل: ۶۱ گونه elliptic (*Mirabilis jalapa*) irregular ۱۷ گونه (*Tradescantia pallida*) triangular ۶ گونه (*Platycladus orientalis*) polygonal ۳ گونه (*Symporicarpos cf. albus*) quadrangular ۲ گونه (*Gypsophila sp.*)



شکل ۱- فراوانی خانواده‌های گیاهی

Fig. 1- Abundance of plant families



شکل ۲- فراوانی تزئینات مشاهده شده در دانه های گرده خانواده های گیاهی

Fig. 2- Abundance of ornamentation pollen grains in plant families



شکل ۳- بررسی فراوانی جنس های آلرژیزا در هر خانواده

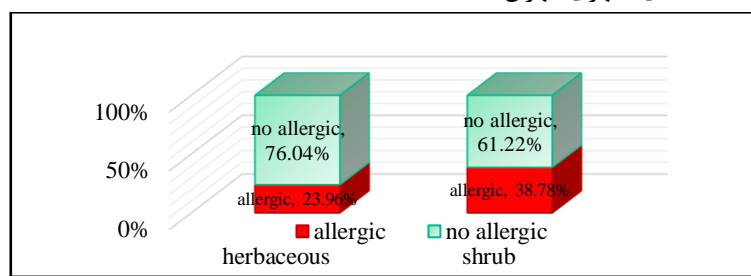
Fig. 3- Abundance of allergic genera in each family

(et al. 2007). البته این گونه ها کمابیش ۲۰ درصد گونه های مورد بررسی را تشکیل می دهند که در شهر تهران اغلب در بازه زمانی بهمن تا اردیبهشت گردافشانی می نمایند. همچنین نتایج مطالعه نشان می دهد بیشترین تعداد گونه ها در بازه زمانی فروردین تا اواخر اردیبهشت گردافشانی می نمایند که به عنوان دامنه زمانی بحرانی برای بیماران مستعد آلرژی می باشد. همچنین دانه های گرده بزرگ که توسط گونه های جانوری منتشر می شوند، Wani and Hussain (2017) (شکل ۴-۵) از تعداد کمتری برخوردار هستند. یکی از مهمترین خانواده های آлерژی زایی شهری خانواده چمن ها می باشند که اثرهای آлерژی زایی جنس های متعدد آن اثبات شده است. بسیاری از گونه های آлерژی زایی این خانواده که به عنوان چمن شهری اثرهای آлерژی زایی بالایی هستند (Festuca spp., Poa spp) Oteros, Pusch et al. (2015). در کنار نیاز بالای آبی آن ها برای شهرهای با اقلیم خشکی چون تهران گزینه مناسبی برای کاشت محسوب نمی گردد. این در حالی است که گونه های علفی هرز نیز

نتایج این مطالعه شامل تهیه یک منبع مدون تصویری بومی پیرامون گرده گونه های درختچه ای و علفی کاشته شده شهر تهران می باشد. نتایج این مطالعه نشان می دهد که درختچه های آлерژیزا فراوانی بیشتری نسبت به گیاهان علفی آлерژیزا دارند. این در حالی است که در درختان و درختچه ها به دلیل تولید گرده فراوان تر و گردافشانی با باد (Willmer, 2011) تأثیرهای آлерژی زای Alvarez-López شده است (). دانه های گرده این بیشتری گزارش شده است (Fernández-González et al. 2020). دانه های گرده این گونه ها به طور معمول کوچک بوده و می توانند در مسافت های طولانی پراکنده شوند و از ماندگاری بیشتری در هوای برخوردارند. البته جابجایی دانه های گرده تابعی از سرعت باد و سرعت نهایی دانه گرده می باشد که با ابعاد دانه گرده رابطه معکوس دارد (Wani et al. 2017). به طور معمول دانه های گرده با اندازه کوچک و با وزن سبک به دلیل انتشار گسترده تر با باد تأثیرهای بیشتری در محیط دارند. بنابراین احتمال نقوذ این نوع از گرده ها به مجاری تنفسی بیشتر است (Diethart, Sam 2010).

شده است که اثرهای آلرژی‌زایی آن در جهان اثبات شده است (De Linares, Plaza *et al.* 2021). این گونه‌ها با قابلیت تولید گرده زیاد، وزن سبک و قابلیت انتشار بالا توسط باد از تأثیرهای آلرژی‌زایی بسیار بالایی برخوردارند. این در حالی است که بیشترین تأثیرهای آلرژی‌زایی از گیاهان خانواده سرو در دنیا گزارش شده است (Arilla, Ibarrola *et al.* 2004, Cortegano, Civantos *et al.* 2004, Charpin, Pichot *et al.* 2019).

یکی از عامل‌های آلرژی‌زایی در شهر مشهد شناخته شده است (Fereidouni, Hossini *et al.* 2009). یکی از چالش‌های بزرگ آلرژی‌زایی در شهر تهران گونه‌های متنوع خانواده کاج (*Pinus nigra, Pinus eldaria*) و خانواده سرو (*Cupressus sempervirens, Cupressus arizonica, Thuja orientalis*) می‌باشد که در مقیاس وسیع در پارک‌های شهری، پارک‌های جنگلی، حاشیه بزرگراه‌ها، بلوارها و نیز منطقه‌های شهری تهران کاشته

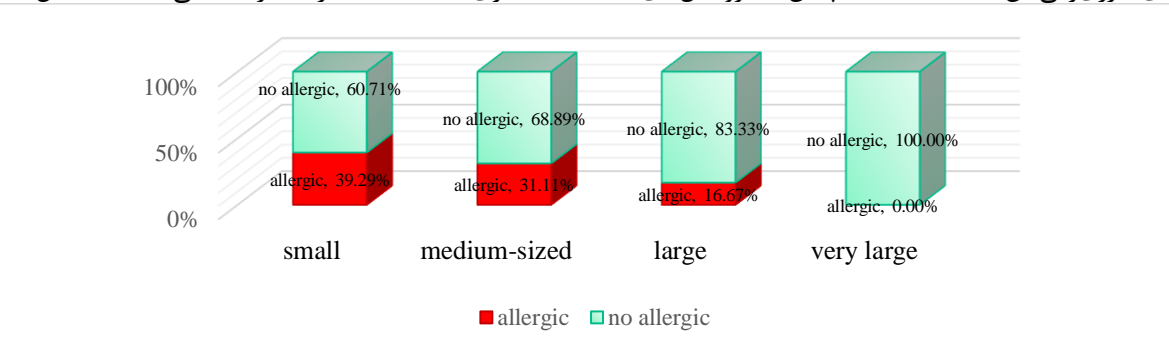


شکل ۴- نمودار مقایسه درصد آلرژی‌زایی در هر فرم رویشی

Fig. 4- Comparison of the percentage of allergenicity in each vegetative form

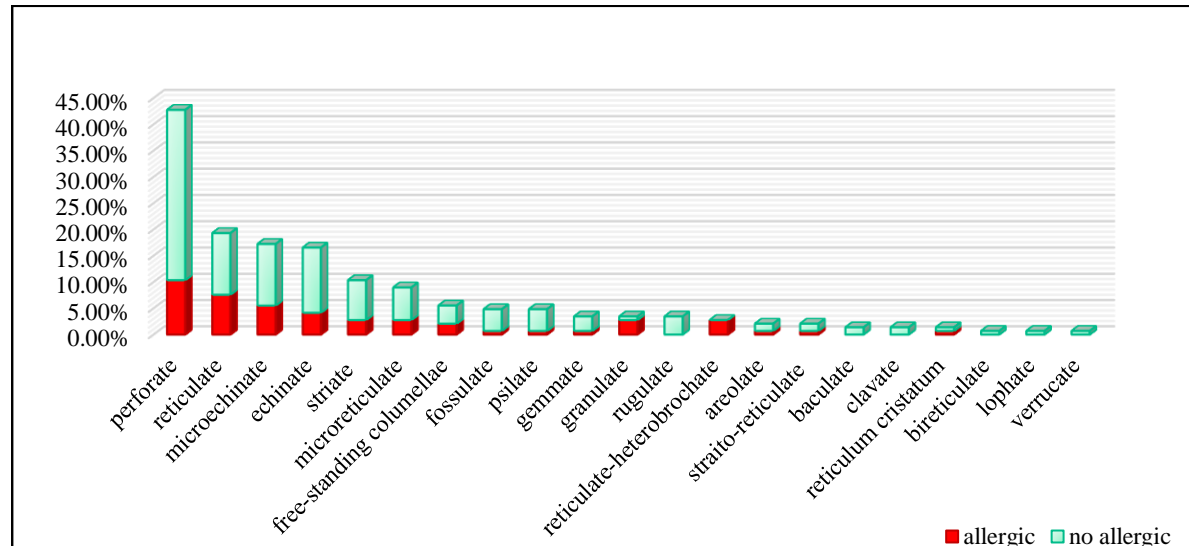
اگزین داخلی و اگزین خارجی که انتقال آلرژن را از دیواره دانه گرده تسهیل می‌کنند، نیز می‌توانند آلرژی‌زایی را تقویت کنند (Diethart, Sam *et al.* 2007). بنابراین تأثیر معنادار ریز ریخت شناسی دانه گرده در ایجاد آلرژی به مطالعات گسترش‌هایی دارد. نتایج این پژوهش نشان می‌دهد که ترئینات دانه‌های گرده در گونه‌های گیاهی آلرژی‌زا بیشتر از نوع perforate می‌باشد. همچنین مشاهده می‌شود تمام دانه‌های گرده دارای ترئینات reticulate-heterobrochate دارای خاصیت آلرژی‌زایی هستند که به عنوان یک فرضیه قابل بررسی است و برای تأیید آن نیاز به مطالعات آماری گسترش‌هایی دانه گرده است (شکل ۶).

نتایج این مطالعه نشان می‌دهد که گرده‌های آلرژی‌زا نیز از تنوع ریختی بالایی برخوردارند. براساس مطالعه Songnuan (2013) هیچ مدرکی دال بر همبستگی شکل دانه گرده و آلرژی‌زایی آن وجود ندارد. این در حالی است که (Diethart, Sam *et al.* 2007) در مطالعه خود تأکید نموده‌اند که گرده غالب گیاهان آلرژی‌زا کوچک بوده و با باد گردیده‌افشانی می‌نمایند و همچنین دارای منفذ گرد (ulcus poros) بوده و ترئینات ساده دارند. این عامل عدم توانایی آلرژی‌زایی دانه‌های گرده بزرگ را تأیید نمی‌کند بلکه نشان می‌دهد که در دسترس بودن دانه‌های گرده کوچک سبب افزایش گزارش‌های آلرژی‌زایی آن‌ها شده است. همچنین میکروکانال‌های



شکل ۵- نمودار مقایسه درصد آلرژی‌زایی در هر سایز دانه گرده

Fig. 5- Comparison chart of the percentage of allergenicity in each pollen grain size



شکل ۶- بررسی میزان آلرژی‌زایی و ترتیبات دانه‌های گردۀ مورد بررسی

Fig. 6- Evaluation of allergenicity and ornamentation of pollen grains

موجود در هوا با تأثیر بر دیواره دانه گردۀ و تخرب آن سبب شدت آلرژی‌زایی و ایجاد ترکیب‌های آلرژی‌زای (Sedghy, Varasteh *et al.* 2018) جدید می‌شوند (Beggs 2004) همچنین مطالعات مختلف نشان می‌دهد که تغییرات اقلیمی با تغییرات فصلی، تغییرات تولید گردۀ، افزایش شدت آلرژی‌زایی و قابلیت انتشار دانه گردۀ سبب تغییر الگوهای آلرژی‌زایی و شدت آن می‌گردد (Jafari *et al.* 2010) که مطالعات (Zinnia elegans) در گردۀ گل آهار (Chehregani, Majde *et al.* 2004) اقلیمی در شهرهای مختلف کشور مانند تهران می‌باشد.

نتیجه‌گیری

این بانک اطلاعاتی به عنوان نخستین گام در تهییه فلور گردۀای ابرشهرهای کشور محسوب می‌شود و همچنین به عنوان یک مرجع تصویری نقش مهمی در تسهیل مطالعات تاکسونومی و سیستماتیک گیاهی دارد. از سویی دیگر بانک اطلاعات گردۀ‌شناسی به دست آمده از این تحقیق می‌تواند به عنوان یک مرجع مهم برای تمام محققان مرتبط با گردۀ شناسی مؤثر باشد. از طرفی این اطلاس به عنوان یک منبع بومی در تحقیق تحلیل سابقه کشاورزی و فرهنگ گیاهی و نیز گیاه شناسی قومی منطقه مؤثر است. نتایج این مطالعه نشان می‌دهد که در

ترکیب‌های آلاینده موجود در هوا با تخریب دیواره دانه گردۀ سبب آزاد شدن بیشتر ترکیب‌های آلرژی‌زا شده و بر شدت آلرژی‌زایی دانه‌های گردۀ می‌افزاید. مطالعات نشان می‌دهد که آلاینده‌های گازی موجود در هوا می‌توانند به سطح دانه گردۀ چنار شرقی (*Platanus orientalis*) چسبیده و سبب ایجاد ذراتی در سطح آن شوند که بر آلرژی‌زایی آن می‌افزایند (Lu, Ren *et al.* 2014) به طور مشابه این افزایش آلرژی‌زایی در مطالعاتی دیگر در گردۀ گل آهار (*Zinnia elegans*) و دانه‌های گردۀ گیاه سرو نقره‌ای (Shahali, Pourpak *et al.* 2009) و Lucas, Gutierrez-Albanchez *et al.* (2019) همچنین (Aina, Asero *et al.* 2010) توسط آلاینده‌ها و ترکیب‌های شیمیایی نیز گزارش شده است. آلودگی هوا و تغییرات اقلیمی می‌تواند منجر به رشد سریعتر گیاهان آلرژی‌زا و در نتیجه افزایش میزان آلرژن‌های استنشاقی شود (D'Amato and Akdis 2020). همچنین سایر مطالعات نشان می‌دهد که دانه‌های گردۀ تا دوهفته پس از آزاد شدن در محیط متأثر از ترکیب‌های آلاینده محیط دارای دیواره‌ای شکننده شده است (Shahali, Pourpak *et al.* 2009) بر این اساس وجود آلاینده‌های

علوم پزشکی تهران به جهت حمایت‌های مادی و معنوی در انجام این پژوهش و از آقای مهندس سعید جوادی در آزمایشگاه مرکزی دانشگاه شهید بهشتی به واسطه زحمات و همکاری ایشان در تهیه تصاویر میکروسکوپ الکترونی نگاره تشکر می‌نماییم.

پی‌نوشت‌ها

¹ SEM

² Aeroallergen

³ HSBU

⁴ Perfect Plant, Perfect Place

⁵ The Complete Encyclopedia of Bulbs & Tubers

⁶ The Complete Illustrated Guide to Growing Cacti & Succulents

⁷ SEM

شهر تهران گونه‌های گیاهی زیادی بدون در نظر گرفتن ملاحظات آلرژی‌زایی کاشته شده که به عنوان یک هشدار مهم جهت مدیران اکولوژی شهر باید مد نظر قرار گیرد تا ضمن مدیریت گونه‌های فعلی، با رعایت ملاحظات اکولوژیکی در راستای جایگزینی تدریجی آن‌ها با گونه‌های مناسب غیر آلرژی‌زا اقدام نمایند. همچنین تأثیرهای تشدید کنندگی آلاینده‌های هوا و نیز تغییرات اقلیمی بر دانه‌های گرده به عنوان یک نکته مهم باید مورد توجه قرار گیرد.

سپاس‌گزاری

از مرکز تحقیقات ایمونولوژی، آسم و آلرژی دانشگاه

منابع

Adams, R. J. and Morton, J. K., 1972. An atlas of pollen of the trees and shrubs of eastern Canada and the adjacent United States. Department of Biology, University of Waterloo. Waterloo, Ontario.

Agashe, S. N. and Caulton, E., 2009. Pollen and spores: applications with special emphasis on aerobiology and allergy. CRC Press, Boca Raton, FL.

Aina, R., Asero, R., Ghiani, A., Marconi, G., Albertini, E. and Citterio, S., 2010. Exposure to cadmium-contaminated soils increases allergenicity of *Poa annua* L. pollen. Allergy. 65, 1313-1321.

Alaei Taleghani, M., 2003. Geomorphology of Iran. Tehran, Qoms Publications, Qom, Iran.

Álvarez-López, S., Fernández-González, M., González-Fernández, E., Garrido, A. and Rodríguez-Rajo, F., 2020. Tree allergen pollen-related content as pollution source in the city of Ourense (NW Spain). Forests. 11, 1129.

Ames, H. and Spackman, W., 1981. Catalog of fossil spores and pollen. Volume 42. Cretaceous

Spores and Pollen from the USA and the USSR. University Park, Pennsylvania.

Anderson, M. and Hewitt, T., 2012. The Complete Illustrated Guide to Growing Cacti & Succulents: the Definitive Practical Reference on identification, Care and Cultivation, with a Directory of 400 Varieties and 700 Photographs. Southwater. Anness Publishing.

Arilla, M. C., Ibarrola, I., García, R., de la Hoz, B., Martínez, A. and Asturias, J. A., 2004. Quantification of the major allergen from cypress (*Cupressus arizonica*) pollen, Cup a 1, by monoclonal antibody-based ELISA. International Archives of Allergy and Immunology .134, 10-16.

Arshi, S., Zarrinfard, R., Fereshtehnejad, S., Poorsattar Bejeh Mir, A. and Javahertarash, N., 2010. Determination of the prevalence of allergy to autumn pollens in allergic rhinitis patients referred to the immunology-allergy clinic of Hazrat Rasool-e-Akram Hospital in Tehran during 2005-06. Razi Journal of Medical Sciences. 17, 59-67.

Assadi, M., 2019. Flora of Iran. Iran Nature. 4, 29-41.

- Bassett, I. J., Crompton, C. W. and Parmelee, J. A., 1978. An atlas of airborne pollen grains and common fungus spores of Canada. Canada Department of Agriculture, Ottawa, Canada.
- Beggs, P. J., 2004. Impacts of climate change on aeroallergens: past and future. *Clinical & Experimental Allergy*. 34, 1507-1513.
- Behrendt, H., Becker, W., Fritzsche, C., Sliwa-Tomczok, W., Tomczok, J., Friedrichs, K. and Ring, J., 1997. Air pollution and allergy: experimental studies on modulation of allergen release from pollen by air pollutants. *International archives of allergy and immunology*. 113, 69-74.
- Cariñanos, P., Alcázar, P., Galán, C. and Domínguez, E., 2002. Privet pollen (*Ligustrum* sp.) as potential cause of pollinosis in the city of Cordoba, south-west Spain. *Allergy*. 57, 92-97.
- Cariñanos, P. and Casares-Porcel, M., 2011. Urban green zones and related pollen allergy: A review. Some guidelines for designing spaces with low allergy impact. *Landscape and Urban Planning*. 101, 205-214.
- Cariñanos, P., Grilo, F., Pinho, P., Casares-Porcel, M., Branquinho, C., Acil, N., Andreucci, M. B., Anjos, A., Bianco, P. M., Brini, S., Calaza-Martínez, P., Calvo, E., Carrari, E., Castro, J., Chiesura, A., Correia, O., Gonçalves, A., Gonçalves, P., Mexia, T., Mirabile, M., Paoletti, E., Santos-Reis, M., Semenzato, P. and Vilhar, U., 2019. Estimation of the Allergenic Potential of Urban Trees and Urban Parks: Towards the Healthy Design of Urban Green Spaces of the Future. *International Journal of Environmental Research and Public Health*. 16, 1357.
- Cecchi, L., D'Amato, G., Ayres, J. G., Galan, C., Forastiere, F., Forsberg, B., Gerritsen, J., Nunes, C., Behrendt, H., Akdis, C., Dahl, R. and Annesi-Maesano, I., 2010. Projections of the effects of climate change on allergic asthma: the contribution of aerobiology. *Allergy*. 65, 1073-1081.
- Charpin, D., Pichot, C., Belmonte, J., Sutra, J. P., Zidkova, J., Chanez, P., Shahali, Y., Sénéchal, H. and Poncet, P., 2019. Cypress Pollinosis: from Tree to Clinic. 56, 174-195.
- Chehregani, A., Majde, A., Moin, M., Gholami, M., Ali Shariatzadeh, M. and Nassiri, H., 2004. Increasing allergy potency of Zinnia pollen grains in polluted areas. *Ecotoxicol Environ Saf*. 58, 267-272.
- Colinvaux P, O. P., Patiño J, 1999. Review: Amazon Pollen Manual and Atlas/Manual e Atlas Palinologico da Amozonia. Harwood Academic Publishers, USA.
- Cortegano, I., Civantos, E., Aceituno, E., del Moral, A., López, E., Lombardero, M., del Pozo, V. and Lahoz, C., 2004. Cloning and expression of a major allergen from *Cupressus arizonica* pollen, Cup a 3, a PR-5 protein expressed under polluted environment. *Allergy*. 59, 485-490.
- D'Amato, G., Cecchi, L., Bonini, S., Nunes, C., Annesi-Maesano, I., Behrendt, H., Liccardi, G., Popov, T. and van Cauwenberge, P., 2007. Allergenic pollen and pollen allergy in Europe. *Allergy*. 62, 976-990.
- D'Amato, G. and Akdis, C. A., 2020. Global warming, climate change, air pollution and allergies. *Allergy*. 75, 2158-2160.
- da Silva, C. I., Radaeski, J. N., Arena, M. V. N. and Bauermann, S. G., 2020. Atlas of pollen and plants used by bees. CISE.
- Davies, J. M., Li, H., Green, M., Towers, M. and Upham, J. W., 2012. Subtropical grass pollen allergens are important for allergic respiratory diseases in subtropical regions. *Clinical and Translational Allergy*. 2, 4.

- Davis, P., 1965. 1985. Flora of Turkey, vols. 1-9, Edinburgh University Press, Edenborough.
- De Linares, C., Plaza, M. P., Valle, A. M., Alcázar, P., Díaz de la Guardia, C. and Galán, C., 2021. Airborne Cupressaceae Pollen and Its Major Allergen, Cup a 1, in Urban Green Areas of Southern Iberian Peninsula. *Forests*. 12, 254.
- Dewan, M. L., J. Famouri, M. Farmanara, R. Mahjoori, N. Pirooz, M. Samadi, M. Vakilian and P. Verof, 1963. Soil Map of Iran. Food and Agriculture Organization, United Nations, Rome.
- Diethart, B., Sam, S. and Weber, M., 2007. Walls of allergenic pollen: Special reference to the endexine. *Grana*. 46, 164-175.
- Djamali, M., Akhani, H., Khoshravesh, R., Andrieu-Ponel, V., Ponel, P. and Brewer, S., 2011. Application of the global bioclimatic classification to Iran: implications for understanding the modern vegetation and biogeography. *Ecologia mediterranea*. 37, 91-114.
- Erdtman, G., 1960. The acetolysis method-a revised description. *Sven Bot Tidskr*. 54, 516-564.
- Feás, X., Vázquez-Tato, M. P., Estevinho, L., Seijas, J. A. and Iglesias, A., 2012. Organic Bee Pollen: Botanical Origin, Nutritional Value, Bioactive Compounds, Antioxidant Activity and Microbiological Quality. *Molecules*. 17, 8359-8377.
- Fereidouni, M., Hossini, R. F., Azad, F. J., Assarehzadegan, M. A. and Varasteh, A., 2009. Skin prick test reactivity to common Aeroallergens among allergic rhinitis patients in Iran. *Allergologia et Immunopathologia*. 37, 73-79.
- Gahreman, A. and Attar, F., 2001. Biodiversity of plant species in Tehran Megalopolis. Tehran University Press, Tehran, Iran.
- Ghosh, D., Roy, I., Chanda, S. and Gupta-Bhattacharya, S., 2007. Allergy to periwinkle pollen [*Catharanthus roseus* G. Don.]. *Annals of Agricultural and Environmental Medicine*. 14.
- Gilmour, M. I., Jaakkola, M. S., London, S. J., Nel, A. E. and Rogers, C. A., 2006. How exposure to environmental tobacco smoke, outdoor air pollutants, and increased pollen burdens influences the incidence of asthma. *Environmental health perspectives*. 114, 627-633.
- Gosling, W. D., Miller, C. S. and Livingstone, D. A., 2013. Atlas of the tropical West African pollen flora. Review of Palaeobotany and Palynology. 199, 1-135.
- Haberle, S. G., Bowman, D. M., Newnham, R. M., Johnston, F. H., Beggs, P. J., Buters, J., Campbell, B., Erbas, B., Godwin, I., Green, B. J., Huete, A., Jaggard, A. K., Medek, D., Murray, F., Newbigin, E., Thibaudon, M., Vicendese, D., Williamson, G. J. and Davies, J. M., 2014. The macroecology of airborne pollen in Australian and New Zealand urban areas. *PLoS one*. 9, e97925.
- Halbritter, H., Ulrich, S., Grímsson, F., Weber, M., Zetter, R., Hesse, M., Buchner, R., Svojtka, M. and Frosch-Radivo, A., 2018. Illustrated pollen terminology. Springer, Vienna.
- Halbritter, H., Werber, M., Zetter, R., Frosch-Radivo, A., Buchner, R. and Hesse, M., 2007. Illustrated handbook on pollen terminology. A Society for the Promotion of Palynological Research in Austria, pp. 1-70.
- Hyde, H. A. and Adams, K. F., 1958. An atlas of airborne pollen grains. London, Macmillan.
- Jafari, M., 2010. Climate change impacts on Iranian ecosystems: with review on climate change study methods. Research Institute of Forests and Rangelands, Iran.

- Kimiayi, M., 1970. Pollinosis in Iran. Annals Of Allergy. 28, 28-30.
- Lancaster, R., Cheifetz, A. and Rogers, R., 2002. Perfect plant, perfect place. DK Pub.
- Large, M.F., Braggins, J.E., 1991. Spore atlas of New Zealand ferns and fern allies Supplement to New Zealand Journal of Botany, 29 (1991), pp. 1-168.
- Leal, A., Berrio, J. C., Raimández, E. and Bilbao, B., 2011. A pollen atlas of premontane woody and herbaceous communities from the upland savannas of Guayana, Venezuela. Palynology. 35, 226-266.
- Lieux, M. H., 1980. An atlas of pollen of trees, shrubs, and woody vines of Louisiana and other southeastern States, Part 1. Ginkgoaceae to Lauraceae. Pollen et Spores, 22:17- 57.
- Linneberg, A., Dam Petersen, K., Hahn-Pedersen, J., Hammerby, E., Serup-Hansen, N. and Boxall, N., 2016. Burden of allergic respiratory disease: a systematic review. Clinical and Molecular Allergy. 14, 12.
- Lu, S., Ren, J., Hao, X., Liu, D., Zhang, R., Wu, M., Yi, F., Lin, J., Shinich, Y. and Wang, Q., 2014. Characterization of protein expression of *Platanus* pollen following exposure to gaseous pollutants and vehicle exhaust particles. Aerobiologia (Bologna). 30, 281-291.
- Lucas, J. A., Gutierrez-Albanchez, E., Alfaya, T., Feo-Brito, F. and Gutiérrez-Mañero, F. J., 2019. Oxidative stress in ryegrass growing under different air pollution levels and its likely effects on pollen allergenicity. Plant Physiology and Biochemistry. 135, 331-340.
- Majd, A., Shoushtari, M. S., Moin, M., Nejad, M. M., Zandieh, F., Bayat, P., Shoormasti, R. S., Movahedi, M., Fazlollahi, M. R. and Pourpak, Z., 2018. Pollen Database Registry in Iran. Iranian Journal of Allergy, Asthma & Immunology. 17.
- Mansouritorghabeh, H., Jabbari-Azad, F., Sankian, M., Varasteh, A. and Farid-Hosseini, R., 2019. The Most Common Allergenic Tree Pollen Grains in the Middle East: A Narrative Review. Iranian journal of medical sciences. 44, 87-98.
- Milne, L. A. and Mildenhall, D. C., 2004. Forensic palynology. CRC Press, Boca Raton, FL.
- Motta, A. C., Marliere, M., Peltre, G., Sterenberg, P. A. and Lacroix, G., 2006. Traffic-related air pollutants induce the release of allergen-containing cytoplasmic granules from grass pollen. International Archives of Allergy and Immunology. 139, 294-298.
- Mozaffarian, V., 2005. Trees and shrubs of Iran. Farhang Moaser, Tehran, Iran.
- Naas, O., Mendez, M., Quijada, M., Gosselin, S., Farah, J., Choukri, A. and Visez, N., 2016. Chemical modification of coating of *Pinus halepensis* pollen by ozone exposure. Environ Pollut. 214, 816-821.
- Nilsson, S. and Persson, S., 1981. Tree pollen spectra in the Stockholm region (Sweden), 1973–1980. Grana. 20, 179-182.
- Oteros, J., Pusch, G., Weichenmeier, I., Heimann, U., Möller, R., Röseler, S., Traidl-Hoffmann, C., Schmidt-Weber, C. and Buters, J. T., 2015. Automatic and Online Pollen Monitoring. International Archives of Allergy and Immunology. 167, 158-166.
- Patella, V., Florio, G., Magliacane, D., Giuliano, A., Crivellaro, M. A., Di Bartolomeo, D., Genovese, A., Palmieri, M., Postiglione, A., Ridolo, E., Scaletti, C., Ventura, M. T., Zollo, A., Air, P., Climate Change Task Force of the Italian Society of Allergology, A. and Clinical, I., 2018.

- Urban air pollution and climate change: "The Decalogue: Allergy Safe Tree" for allergic and respiratory diseases care. Clinical and Molecular Allergy. 16, 20.
- Punt, W., Hoen, P., Blackmore, S., Nilsson, S. and Le Thomas, A., 2007. Glossary of pollen and spore terminology. Review of Palaeobotany and Palynology. 143, 1-81.
- Rechinger, K. H., 1963. Flora Iranica: flora des Iranischen Hochlandes und der umrahmenden Gebirge. Akademische Druck-und Verlagsanstalt.
- Sedghy, F., Varasteh, A.-R., Sankian, M. and Moghadam, M., 2018. Interaction Between Air Pollutants and Pollen Grains: The Role on the Rising Trend in Allergy. Reports of biochemistry & molecular biology. 6, 219-224.
- Shafiee, A., 1976. Studies of atmospheric pollen in Tehran, Iran, 1974-75. Ann Allergy. 37, 133-137.
- Shahali, Y., Pourpak, Z., Moin, M., Mari, A. and Majd, A., 2009. Instability of the structure and allergenic protein content in Arizona cypress pollen. Allergy. 64, 1773-1779.
- Skjøth, C. A., Kurganskiy, A., Grundström, M., Werner, M. and Adams-Groom, B., 2021. Air pollution affecting pollen concentrations through radiative feedback in the atmosphere. Atmosphere. 12, 1376.
- Songnuan, W., 2013. Wind-pollination and the roles of pollen allergenic proteins. Asian Pacific Journal of Allergy and Immunology. 31, 261-270.
- Takhtajan, A., 1986. Floristic regions of the world. University of California Press Ltd. California, 522p.
- Van Dijk, H. a. K., M, 2004. The Complete Encyclopedia of Bulbs & Tubers: An Expert Guide to the Most Beautiful Bulbous and Tuberous Plants. Rebo Intl, UK.
- Wani, S. and Hussain, 2017. Wind Pollination: A Review.
- Weiss, K. B. and Sullivan, S. D., 2001. The health economics of asthma and rhinitis. I. Assessing the economic impact. The Journal of Allergy and Clinical Immunology. 107, 3-8.
- Willard, D. A., Bernhardt, C. E., Weimer, L., Cooper, S. R., Gamez, D. and Jensen, J., 2004. Atlas of pollen and spores of the Florida Everglades. Palynology. 28, 175-227.
- Willmer, P., 2011. Pollination and floral ecology. In, Pollination and floral ecology, Princeton University Press.
- Wodehouse, R. P., 1935. Pollen grains. Their structure, identification and significance in science and medicine. McGraw-Hill, New York.
- Ziello, C., Sparks, T. H., Estrella, N., Belmonte, J., Bergmann, K. C., Bucher, E., Brighetti, M. A., Damialis, A., Detandt, M., Galán, C., Gehrig, R., Grewling, L., Gutiérrez Bustillo, A. M., Hallsdóttir, M., Kochhans-Bieda, M.-C., De Linares, C., Myszkowska, D., Páldy, A., Sánchez, A., Smith, M., Thibaudon, M., Travaglini, A., Uruska, A., Valencia-Barrera, R. M., Vokou, D., Wachter, R., de Weger, L. A. and Menzel, A., 2012. Changes to airborne pollen counts across Europe. PLoS one. 7, e34076-e34076.
- <http://www.pollenlibrary.com>





Environmental Sciences Vol.20 / No.1 / Spring 2022

77-112

Original Article

Ecology and pollen database of shrub and cultivated herbaceous plant species in Tehran: An ecological management and urban safety approach

Safa Gohari,¹ Ahmad Reza Mehrabian^{1*} and Raheleh Shokouhi Shoormasti²

¹ Department of Plant Sciences and Biotechnology, Faculty of Life Sciences and Biotechnology, Shahid Beheshti University, Tehran, Iran

² Immunology, Asthma and Allergy Research Institute Tehran University of Medical Sciences, Tehran, Iran

Received: 2021.04.05 Accepted: 2021.06.28

Gohari, S., Mehrabian, A.R. and Shokouhi Shoormasti, R., 2022. Ecology and pollen database of shrub and cultivated herbaceous plant species in Tehran: An ecological management and urban safety approach. Environmental Sciences. 20(1): 77-112.

Introduction: Palynology as a multidisciplinary science can provide data base for a wide range of sciences such as Plant Systematics, Melissopalynology (quality control of honey), Aeropalynology, Stratigraphy, Palynology, Forensic Palynology, Paleoclimate, prediction and simulation of past climatic events, Archaeology, phylogeny, etc. Because several cultivated and ornamental species are classified as allergenic plants, identification, classification, and preparation of their database have particular importance. So far, few studies has been carried out on palynology in Iran. Therefore, it seems that carrying out a palynological study and preparing its database in Tehran is the first step in allergy research. The objectives of this study were to investigate the morphological and micro-morphological characteristics and classification, as well as preparing palynological database in Tehran.

Material and methods: Tehran has an area of about 600 km² due to its location on the southern slopes of the Alborz Mountainous Region, widely extended along north to south and east to west zones, therefore showing a variety of climatic conditions that include diverse species (e.g., ornamental, etc.). So, after reviewing the published flora and present information on green space databases in the area, target taxa were selected. The plant samples were collected by field samplings and were deposited based on standard methods. Finally, the pollen grains were coated with gold material. Then, they were scanned with Scanning Electron Microscopy (SEM). Afterward, they were identified by diverse pollen references on palynology.

*Corresponding Author: Email Address. a_mehravian@sbu.ac.ir

Results and discussion: The results of this study include the preparation of a native visual source about the pollen grains of 145 species of shrubs and cultivated herbaceous plant species in Tehran. These 145 plant species belong to 65 families, including 95 herbaceous species and 50 shrub species. Asteraceae (16 species) and Rosaceae (14 species) had the most species. Among the 131 studied genera, 43 genera were reported to be allergic. Asteraceae with 5 genera and Cupressaceae and Oleaceae with 3 genera had the highest frequency of allergenic species among the studied families. The results of this study showed that allergenic shrubs are more abundant than allergenic herbaceous plants. However, trees and shrubs have more allergenic effects due to more pollen production and wind pollination. The pollen grains of these species are usually small and can be scattered over long distances and have a longer durability in the air. The results of this study show that allergic pollens also have a high morphological diversity, however, the significant effect of pollen grain micro-morphological characteristics on allergies requires more extensive studies.

Conclusion: The achievements of this study will serve as a pilot for the study of palynological study, especially in asthma and allergy in the country. The results of this study show that in Tehran, several plant species have been planted without considering allergenic considerations, which should be considered as an important warning for ecological managers of the city.

Keywords: Aeropalynology, Asthma and allergy, Polynological database.